Statuahr N3BECTИЯ

АКАДЕМИИ НАУК АРМЯНСКОЙ ССР

Sthubyuuuu арыльфальшьгр исгри СЕРИЯ ТЕХНИЧЕСКИХ НАУК

theyur

ÉPEBAH

ԽՄՔԱԳՐԱԿԱՆ ԿՈԼԵԳԻԱ

Աղոնդ Հ. Ալեքսեեսկի Վ. Վ., Եդիազաբյան Ի. Վ., Կասյան Ս. Վ. (պատ. խմբագիր), հոգաբով Ա. Գ., Եիսոսով Մ. «Ինության Վ. Վ. (պատ. խմբ

РЕДАКЦИОННАЯ КОЛЛЕГИЯ

М. В. (ответ. редактор), Пазаров А. Г.: Пинаджян В. В (зам. отв. редактора), Симонов М. З. Տեխնիկական գիտութ, սեշիա

XXII, 4, 1969

Серия технических наук

энергетика

L. T. A TOHU

ИССЛЕДОВАННЯ АЛГОРИТМА РАСЧЕТА СТАЦИОНАРНЫХ РЕЖИМОВ ПАССИВНОГО МНОГОВОЛЮСНИКА

- В АрмИППинергетики за последние годы был выполнен ряд работ по рясчету стационарных режимов Армянской, Волгоградской, Закавказской энергосистем. Целью настоящей статьи является изложение результатов исследований алгоритма таких расчетов и рекомендаций по широкому использованию программ, ревлизующих на ЦВМ указанный алгоритм.
- 1. О рекомендуемых параметрах многополюсника. Псследоваиня показали, что применение матрицы коэффициентов уравнений многополюсника с нараметрами Y_{-k} имеет следующие преимущества по сравнению с матрицей с параметрами $z=-r_{mk}+ix_{mk}$
- а) обеспечивается возможность выбора в качестве независимых переменных PQU_{γ} и как следствие, итерация недется по компонентам комплексных напряжений (U_{γ}) , в противоположность выбору в качестве переменных приволящих итерации по компонентам комплексных токов (I_{γ}) ;
- б) матрицы g и в оказываются содержащими по 4 6% ненулевых элементов, что, в свою очередь, приводит к лучшему использованию возможностей оперативной памяти ЦВМ. Заметим, в процессе итерации эффект малого процента ненулевых элементов матрицы У не используется.
- 2. Выбо р независимых переменных для отдельных узлов многополюсника. В зависимости от характера задачи, в решении которой используется также алгоритм расчета стационарного режима энергосистемы, могут быть следующие четыре способа задания независимых переменных для отдельных узлов многополюсника:
- в) заданы модули (U) и аргументы (ϕ) комплексных напряжений, являются искомыми активные и реактивные мощности:
 - б) заданы P в Q, искомые U в 🦏
 - в) заданы L! и P. яскомые Q и и:
 - r) заданы и Q, искомые P и t.

11a рис. 1 показаны эти способы задания независимых (заштрижованные клетки) и зависимых (белые клетки) переменных для отдельшых узлов. В общем случае в расчете стационарного режима многополюсника могут быть использованы все четыре способа задания независимых переменных для отдельных и группы его внешних узлов.

43001	P	Ψ	U	a
J		1111	X/////	A
8	1///			V/////
E	11//		V////	
2		V////	4	V/////

Рис. 1. Четыре различных способа задания независнямых переменных для внешних узлов многополюсника.

Требуется определить: активные мощности P_{+} (для узлов а и г), реактивные мощности Q_{+} (для узлов а и в), модули напряжений U_{f} (для узлов о и г), фазы комплексных напряжений b_{π} (для узлов о и в), соответственно, для m_{+} , q_{-} -узлов многополюсника, при указанных выше ограничениях: q_{-} в, $m \neq f$.

На искомые величины могут быть наложены и другие ограничения, в частности. для величин принимаются две облясти допустимых значений, первая из них 1—, а вторая 1— если не обеспечивается решение и первои области, 1, е. в —

- 4. Уравнения стационарного режима внешних узлов пассивного многополюсника.
- а. Уравнения для определения активных мощностей P_3 β -узлов и фаз комплексных напряжений ϕ_3 2-узлов, где α_3 = 1 n

$$P = U \sum_{k=1}^{n} U^{k} \left(\frac{1 - x_{k}^{2}}{1 - x_{k}^{2}} \right)^{t} \left(1 - x_{k}^{2} \right)^{t} - b_{jk} \left[x_{3} \right]^{t} \left(1 - x_{k}^{2} \right)^{t} - x_{k}^{2} \left[1 - x_{k}^{2} \right]^{t} - x_{k}^{2} \left[1 - x_{k}^{2} \right]^{$$

$$-\sum_{\substack{\beta=1\\\beta=1}}^{n} U_{\beta}^{i} b_{c}, x_{\delta}, \quad \text{если } Q_{c} > 0$$

$$\sum_{\alpha=1}^{n} U_{\alpha}^{i} b_{c\alpha} x_{\delta}^{i-1} - \frac{Q_{c}^{i}}{U_{c}^{i}} x_{\delta}^{i+1} = \frac{P_{c}}{U_{c}^{i}} | \overline{(1-x_{c}^{2})^{i}} - \sum_{k=1}^{n} U_{k}^{i} g_{ck} | \sqrt{(1-x_{k}^{2})^{i}} - \overline{Q_{c}^{i}} | \overline{(1-x_{k}^{2})^{i}} | \overline{(1-x_{k}^$$

 $-\sum_{\substack{s=1\\8-a}}^{n}U_{3}b_{c},x_{s},$ если $Q_{c}<0,$

где с индекс строки уравнений, приобретающий значения с.

б. Уравнения для определения реактивных мощностей Q_m m-узлов и модулей комплексных напряжений U_t f-узлов, гле m f = 1-n

$$Q_{m}^{i} = U_{m} \sum_{k=1}^{n} U_{k}^{i} \left\{ g_{mk} \left[x_{m}^{i} \right] \right. \left. \left(1 - x_{m}^{2} \right)^{i} \left(1 - x_{m}^{2} \right)^{i} + x_{m}^{i} x_{k}^{i} \right] \right\} + \\ + b_{mk} \left[\left[\left(1 - x_{m}^{2} \right)^{i} \left(1 - x_{k}^{2} \right)^{i} + x_{m}^{i} x_{k}^{i} \right] \right],$$

$$\sum_{\substack{t=1\\t=m}} U_{t}^{i+1} b_{et} \left[\left[\left(1 - x_{m}^{2} \right)^{i} \left(1 - x_{j}^{2} \right)^{i} + x_{m}^{i} x_{k}^{i} \right] \right] + \\ - \sum_{k=1}^{n} U_{k}^{i} g_{ek} \left[x_{e}^{i-1} \right] \left(1 - x_{m}^{2} \right)^{i-1} + x_{e}^{i-1} x_{m}^{i-1} \right] - \\ \sum_{m=1}^{n} U_{m} b_{em} \left[\left[\left(1 - x_{m}^{2} \right)^{i-1} + x_{e}^{i-1} x_{m}^{i-1} \right) \right]$$

$$(3)$$

где e — индекс строки уравнений, приобрагающий значения f.

В уравнениях (1) и (4) верхний индекс i — номер шага итерации.

В этих уравнениях принято обозначение $x_r = \sin \omega$ (r = c, k, m, e). Вывол уравнений (1) и (4) приводится в [1]. В качестве пулевых приближений для определения искомых P_{p}^1 , x_{p}^1 , Q_{m}^1 , U_{p}^1 в первом шаге итерации (i = 1) могут быть приняты прои згольные величины. Рекомендуются следующие нулевые приближения:

$$x^0=0,~U_I^0=U_{\mathrm{HOM}},~P_i^0=P_{\mathrm{noM}},~V_i^0=Q_{\mathrm{NOM}}$$

лля соответствующих $= f_{-}, \beta_{-}, m_{-}$ узлов многополюсника.

- 5. Уравнения для определения режима внутренних узлов многополюсника.
- а) уравнення комплексных напряжений внутренних узлов многополюсинка:

$$[\dot{U}_{1}] = -|Y_{22}|^{-1}[Y_{21}][\dot{U}_{m}], \tag{5}$$

где s — индекс внутренних узлов;

т - индекс внешних узлов;

- [У...] матрица с элементами соответствующая внутренним узлам многополюсника;
- $[Y_{21}]$ матрица с элементами $Y_{21}=g_{21}-jb_{21}$, соответствующая связям внутренних узлов с внешними узлами многополюсника;
- $[\dot{U}_m]$ вектор комплексных напряжений внешних узлов, часть элементов которого является заданной, а остальные определяются в результате решения уравнений режима внешних узлов, τ , e. (1) (4).

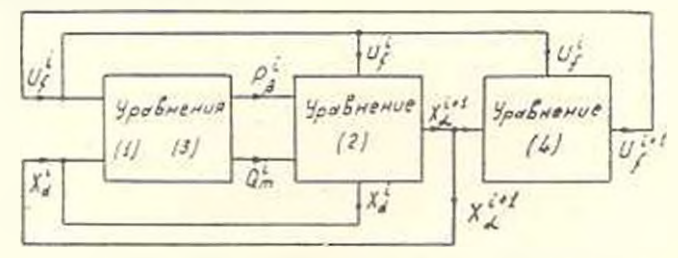


Рис. 2. Схема итерации по уражнениям (1) := (1).

Как видно из уравнений (5), комплексные напряжения внутрениих уалов находятся без втерации с использованием результатов решения уравнений (1)—(4).

 б) Уравнения комплексных толов в ветвях схемы многополюсника;

$$I_{k} = (U_k - U_m) Y_k \tag{6}$$

где k, m — индексы узлов многополюсника;

 $Y_{sm} = v_{sm} - fb_{sm}$ — комплексная проводимость между k- и m-узлами многополюсника;

17 комплексные няпряжения, панденные в результате решений уравнений (1): (5).

в) Уравнения комплексных мощностей в ветвях схемы, направленных от узла k к узлу m многополюсника

$$P_{n} = IU_{k} = (U_{k} - U_{m})I_{km}. \tag{7}$$

6. Фаза напряжения балансирующего узла. В существующих методах расчета стационарного режима энергосистемы фаза напряжения балансирующего узла принимается равной нулю, относительно которой определяются фазы всех остальных независимых узлов схемы сети. Такое ограничение в определении фаз комилексных напряжений приводит к тому, что в ряде случаев из-за неудачного выбора балансирующего узла итерация оказывается несходящейся. Предлагаемый алгоритм позволяет отказаться от такого ограничения и, следовательно, предотвращать случаи несходящихся итераций из-за неудачного выбора балансирующего узла. Согласно уравнениям (2) не обязательно, чтобы фаза одного из комплексных напряжении прини-

малась равной нулю. Поэтому, строго говоря, в данном алгоритме не имеется в виду выделение балансирующего узла. Просто требуется, чтобы из комплексных напряжений и-независимых узлов многополюсника в числе заданных нараметров режима было комплексное напряжение хотя бы одного из и-узлов, для которого и принимается название балаксирующего узла. При этом, фаза напряжения балансирующего узла может иметь любое численное значение. Практика расчетов показала, что с целью обеспечения лучшей сходимости итерации целесообразно после первого шага итерации фазе балансирующего узла придать такое численное значение, чтобы вектор его напряжения оказался примерно в середние сектора комплексной плоскости, образуемого крайними векторами искомых комплексных напряжений.

7. Область допустимых значений (ОДЗ) фаз. Решая и каждом шаге втерации систему уравнений (2), можно получить для отдельных $x_1 = \sin \phi_2$ значения (2) больше — 1 али меньше — 1. Это означает, что вектора комплексных напряжений таких узлов (т. е. а) стремятся расположиться в левой полуплоскости комплексного неременного. А. между тем, расчеты стационарных режимов для большого числа реальных энергосистем показывают, что ОДЗ векторов комплексиых напряжений находится в пределах $\pm \stackrel{\pi}{=}$, т. е. в правой полуплоскости. Предлагаемый алгоритм обеспечивает сначала такой процесс итерации, при котором ОДЗ фаз комплексных папряжений находится в пределах $=\frac{\pi}{2}$. С этой целью перед радикалами, входящими в уравнения системы (2), берутся спачала положительные знаки. Если, с учетом сказанного выше о выборе величины фазы балансирующего узла, окажется, что крайние вектора искомых комплексных напряжений действительно выходят за пределы $\pm \frac{\pi}{2}$, то путем замены знаков радикалов, соответствующих крайним векторам, на отрицательные, можплексной плоскости.

но обеспечить распространение ОДЗ векторов и на левую часть ком-8. Сходимость итерации. Практика расчетов станионарных ре-

жимон энергосистем, базирующаяся на условии задания напряжения только одного узла (балансирующего), приводит, в целом ряде случаев, или к расходящейся итерации, или к ее сходимости к режиму, не имеющему физического смысла, т. е. к неискомому. О такого рода режимах говорят, что ови стационарно пеустойчивы. Вопрос этот в предлагаемом алгоритме решается по-другому. Здесь имеется в виду, что расчет стационарного режима при условии задания напряжения только одного балансирующего узля не является приемлемым, т. е. лопустимым, во всех случаях. Возникает необходимость отказаться от этого условия, заменив его требованием, чтобы расчет стационарного режима проводился при условии задания напряжений двух и более узлов схемы. В частности, это условие легко реализуемо, если иметь в виду задание величин P и U для отдельных генераторных узлов схемы эпергосистемы, взамен обычно задавлемых P и Q параметров режима этих узлов. Вопрос о сходимости итерации к единственному, физически реализуемому, решению может быть прознализирован на основе следующих приближенных критернев, получаемых согласно теореме сходимости [2] с использованием коэффициентов уравнений (2) и (4)

при

$$c = 1 :: R$$

$$c \neq \delta$$

$$|U_{c}b_{cc}| \ge \sum_{\substack{\alpha=1\\\alpha+\beta\\\alpha+c}} |U_{c}b_{cc}|, \qquad \text{если } Q_{c} > 0$$

$$|U_{c}b_{cc} - \frac{Q_{c}}{U_{c}}| \ge \sum_{i=1}^{n} |U_{c}b_{ci}|, \qquad \text{если } Q_{c} < 0$$

$$(8)$$

при

$$e = 1 - n$$
 $e \neq m$
 $e = \lambda$

$$|b_{ee}| \geqslant \sum_{\substack{f=1\\f\neq m\\f\neq e}}^{n} |b_{ef}| \sqrt{(1-x_{e}^{2})^{i+1}(1-x_{f}^{2})^{i+1}} + x_{e}^{i+1}x_{f}^{i+1}|, \tag{9}$$

где 🖟 – индекс балансирующего узла.

Из этих уравнений видно, что условию задация модулей комплексных напряжений для большего числа независимых узлов многополюсника соответствует более устойчивая сходимость итерации по уравнениям (1)—(4) к единственному решеник, по сравнению с условием задания напряжения только балапсирующего узла.

9. Ускорение итерации. Исследования показали, что определенный эффект в ускорении итерации достигается при использовании следующей формулы

$$Y_y^{i+1} = Y^i + \frac{1}{2}(Y^{i+1} - Y^i),$$
 (10)

где Y- искомый параметр режима, т. е $P_{r},\ Q_{r},\ U_{f},\ \dots$

Эту формулу рекомендуется применять носле второго шага итерации (i=2) и до пятого (i=5) шага.

Примеры расчета, иллюстрирующие результаты исследований алгоритма расчета стационарного режима, соответствуют одной схеме замещения Закавказской энергосистемы, представляемой эквивалентным многополюсником с n=28 независимыми узлами. Некоторые из параметров $g=-b_{m,k}(m,\ k=1-28)$ приведены в табл. 1.

							Таблица 1		
m. k	1.1	2.2	3.3	4,4	26.26	27 . 27	28.28		
S m k	0	4,472	U	0	6,94 3	68,564	3,396		
b_{mk}	0,1	0.0585	0,0101	0,0667	0,119	0,162	0,230		

Для определения стационарного режима были заданы 2n параметра, а именно $x_4=0,3;\ U_m;\ m=(1:10),\ P:(z\ne 4;\ z=1-28),\ Q_I(f=11-28),\ в том числе следующие:$

Узлы	1	2	3	4	5	25	26	27	28
U P Q	225 75		215 45 —	228	230 3 25	-187 -118,5	44 28	- - 537 -250	- -72 -48

Задачей расчетного стационарного режима служило определение остальных 2n (n=28) параметров, а именю: P_4 ; x_a $(\alpha \neq 4, \alpha = 1+28)$ Q_a (m=1:10); U_I (f=11:28).

Расчеты, выполненные по заданным модулям напряжений только одного узла, только двух узлон, только трех узлов дали результаты, несовпадающие с данными расчета по заданным модулям напряжений только четырех узлов.

Результаты расчетов для случаев задвиня модулей напряжений от 5 до 10 узлов оказались совнадающими. Часть этих результатов приводится ниже в табл. 2. соответствующих заданию U первых 10 узлов, b = -0.3 ускорения итерации после 2-го шага до 5 шага.

Таблица 2

f =		<i>U_f</i> 11	x^{I} trpu $I=$			
	1	2	7	8	7	8
10 11 12 13 14 27 28	222.815 211.926 215.593 183.407 216.286 227.672	222,434 213,644 215,792 196,193 215,562 227,326	222,573 212,645 215,680 189,507 215,404 227,389	222,574 212,649 215,677 189,166 215,404 227,385	0,7729 -0,5379 -0,5521 -0,5338 -0,5937 0,7005 0,7499	0.7731 -0.5380 -0.5521 -0.5339 -0.5941 0.7009 0.7500

Заметим, в этом примере крайними оказались вектора комплексных напряжений, соответствующие узлам 10 и 14, а именно, $\sin \phi_{10} = -0.7731$, $\sin \phi_{14} = -0.5941$.

Фазы напряжений всех остальных узлов оказались в промежутке между указанными величинами.

Таким образом было установлено, что в данном примере для получения единственного, физически реализуемого, стационарного режима энергосистемы необходимо, чтобы в числе заданных величин были модули напряжений четырех или больше четырех узлов. Из таблицы 2 видно также, что результаты второго шага (i=2) расчета U_i составляют примерио 99% от результатов, соответствующих последнему (i=8) шагу итерации. Весь расчет был выполнен с точностью $x^{i-1} = x_i = 10^{-i}$, где i=7.

Для проверки эффективности ускорения, обеспечиваемого путем использования формулы (10), был повторен указанный расчет, и котором ускорение по \mathbf{x}_t и U_t вводилось после второго шяга и прекращалось после пятого шага итерации. В результате общее число шагон итерации сократилось до 8, против 11 шагов расчета, выполненного без ускорения итерации.

10. Сведения о программе расчета стационарного режима, реализующей предлагаемый алгоритм. Программа, составленная для машины "Урал-3", позволяет решать задачу для многополюсника с числом независимых узлов до 38. Программа, составляемая для машины M-220, позволят решать задачи для большего числа узлов. Время расчета для одного шага итерации при n=28 составляет порядка одной минуты. Уравнения (2) и (4) решаются но методу Гаусса с выбором главного элемента. Если система содержит большее число независимых узлов, т. е. n > 38, то рекомендуется ее эквицалентировать несколькими многополюсниками, связанными между собой, с использованием для каждого из составных многополюсников предлагаемого алгоритма расчета.

Выводы

- 1. Предлагаемый алгоритм расчета стационарного режима пассивного многополюсника, эквивалентного схеме замещения электрических сетей энергосистемы, основан на принципе последовательного решених системы из 2n уравнений (1)—(4), позволяющих находить 2n параметра режима внешних узлов многополюсника, а именно: P_{-} , $\sin\phi_{-}$, где β , α , m, f—индексы независимых узлов многополюсника. В рассматриваемой задаче заланными являются другие 2n параметра режима, а именно: P_{-} , $\sin\phi_{+}$, U_{m} при этом принимаются: $\alpha \neq \beta$, m— Схема итерации показана на рис. 2.
- 2. Режимы впутрениях узлов многополюсника находятся без итерации, согласно уравнениям (5)—(7) по полученным в результате итерации параметрам режима внешних его узлов.
- 3. Для обеспечения быстрой сходимости итерации предлагается величину фазы напряжения балансирующего узла системы выбирать как среднюю между фазами крайних векторов напряжений, получае-

мыми после первого шага итерации. Кроме того, рекоменлуется пользоваться формулой (10) для ускорения итерации.

- 4. Согласно предлагаемым критериям (8) и (9) сходимости итерации к единственному искомому решению, для обеспечения такой сходимости необходимо стремиться к тому, чтобы в числе заданных неличин были модули напряжения большего числа узлов многополюсника, принимая для тех же узлов в качестве искомых их реактивные мощности.
- 5. Программа, реализующая данный алгоритм на ЦВМ "Урал-3", неоднократно использовалась для расчетов стационарных режимов Армянской. Закавказской, Волгоградской энергосистем. Время расчета режима для случаев многополюсников с n=20-30 независимых уалов находится в пределах от 4-х до 10 минут.
- Приведенные в статье данные расчета стационарного режима многополюсника с 28 независимыми узлами соответствуют схеме замещения Закавказкой энергосистемы с 46 узлами.

Согласно этим данным синусы фаз крайних некторов напряжений оказались равимин 0.7731 п -0.5941. Сходимость итерации была обеспечена за 8 шагов, время расчета порядка 8 минут.

7. Программа расчета стационарного режима многополюсника очень удобна для ее сопряжения с программами расчетов: динамической устойчивости энергосистемы; оптимальных ее режимов, определяемых с учетом потерь мощности в электрических сетях; режимов энергосистем с учетом пелинейных характеристик генераторов и нагрузок и других аналогичных режимов систем.

АрмНИИзпергетики

Поступнао 31.111.1969.

1, 8, UPNV8

<u>ՊԱՍՍ</u>ԻՎ ՔԱՉՄԱԲԻՎԵՈՒ ՄՆԱՏՈՒՆ ՌԵԺԻՄԻ ՀԱՇՎՄԱՆ ԱՎԳՈՐԻՔՄԻ ՀԵՏԱՋՈՏՈՒՄԸ

U. d. dan den e of

Հոդվածում չարագրված է և իվով անկախ հանդույցներով բազմարների կոմպինըսային լարումների ու ռեակաիվ հղորությունների մոդուլների և թվով հավասարումների և լարումների ու ակտիվ հղորությունների փուլերի և թվով հավասարումների և լարումների ու ակտիվ հղորությունների փուլերի և թվով հավասարումների երկետապ համատեղ լուծման ալդորիթներ հնդիրը լուծվում է իտերացիայի մեթողով։ Տրված է իտերացիայի ղուղամիաման չափանիշը։ Դիտվում է իտերացիայի պուդամիումանն օժանդակող հավասարակչոող հանաայցի նրա լարման փուլի ավատմատիկ ընտրման հարցը։ Հետազոտված է լուծման միակության հարցը լարումների վեկաորների փուլերի թույլատրելի արժեջների տիրումիում։ Ասաչարկված է իտերացիան արազացնելու պարդ նդանան Բերված են տեղեկություններ ալուրիթներ իրականացնող ծրադրի վերաբերյալ, ինչպես նաև դիտվող ինդիրը կոնկրետ էներսասիստեմի հաշմաբ ստացված ավյալները։

ЛИТЕРАТУРА

- 1 Адонц Г. Т. Многополюсник, АН АрмССР, 1965.
- Демидович Б. П., Марон П. А. Основы имчислительной математики Физматтил, 1960.

Տեխնիկական գիտութ, սեբիա

XXII, 4, 1969

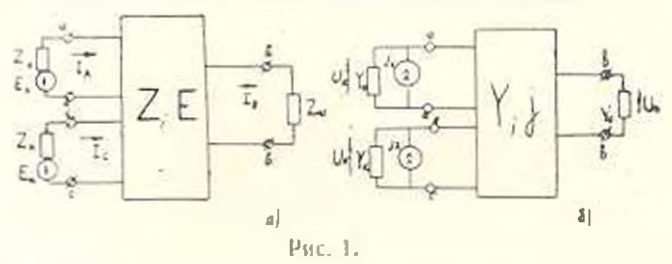
Сеппя технических паук

ЭНЕРГЕТИКА

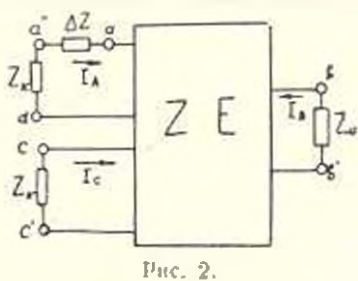
Б. Я. ЛИХТЦИНДЕР, М. С. ПАГЛАВЯН

ЭПЕРГЕТИЧЕСКИЕ СООТНОШЕНИЯ ОБОБЩЕННОЙ ЦЕПИ СРАВНЕНИЯ

У всех электроизмерительных цепей сравнения, т. с. у всех мостовых, дифференциальных, компенсационных цепей для измерения двухполюсных элементов есть некоторое общее свойство. Например, у всех цепей сравнения есть измеряемый элемент, эталонный элемент и измеритель. Если вывести из схемы уравновешивания эти три двухполюсных элемента, остальную часть схемы можно представить в виде автономного шестиполюсника. На рис. 1 (а) и (б) представлены обобщенные электроизмерительные цепи уравновешивания параметров двухполюсников в виде автономного шестиполюсника.



Электронзмерительная схема уравновешивания, представляющая собой автономный шестиполюсник, характеризуется нассивными Z-параметрами и автономными Е-параметрами, или пассивными У-параметрами и автономными ј-параметрами. К периым входным зажимам шестиполюсника подключается измеряемый двухнолюсник Z, и E, или Y_{λ} и f_{x} , ко вторым входным зажимам — сравнивающий люсник Z_k и E_k или Y_k и f_k , а к выходным зажимам подключается измеритель с Za- или Ya-параметром. В принципе, мощность, передаваемая измерителю при заданной расстройке измерительной цепи, может быть сделана сколь угодно большой, увеличением напряжений, приложенных к измерительной цепи. Однако, в действительности, возможности увеличения напряжения ограничены: с увеличением напряжения увеличивается мощность, которая рассенвается во всех ветвях цепи. А так как допустимая нагрузка каждого сопротивления ограничена, то практически напряжение питания необходимо выбирать таким, чтобы ни в одном из элементов цени не выделялась мощность больше допустимой. Могут быть и другие причины, ограничивающие величны питающих напряжений, например, ограниченная мощность источников напряжения. Поэтому параметры и режим работы измерительной цепи целесообразно выбирать так, чтобы нагрузьки наиболее маломощных элементов цепи были близки к предельным и чтобы при этом мощность, передаваемая намерители, была максимальной. Для полобных расчетов удобно пользоваться соотношениями, связывающими мощность, рассенваемую в какой-либо ветии схемы (условно назовем ее латинком) с мощностью, передаваемой измерителю (4). Схему замещения электроизмерительных цепей уравлювенивания рис. 2 представим следующим образом. Обозначим



 I_A — ток через датчик при равновесии. Z_1 сопротивление датчика при равновесии. — взаимное сопротивление ветяей α и Z_n в нагрузочном режиме. Полагая, что ток I_B в измерителе вызван изменением сопротивления датчика на величину ΔZ_{x_1} можем написать:

$$I_{a} = -\frac{I_{A_{1}}}{Z_{a^{*}b}} \frac{\Delta Z_{x} Z_{a^{*}a}}{\Delta Z_{x} + Z_{a^{*}b}} = -\frac{1}{Z_{a^{*}b}} \frac{1}{1 + i}$$
 (1)

rae
$$l = \frac{\Delta Z_x}{Z_{a^*a}}$$
,

 Z_{a^*a} — входное сопротивление цепи по отношению к зажимам a^*a , I_A — ток через датчик до введения ΔZ_x .

Полная мощность, передаваемая измерителю, равна:

$$P_{u_R} = |\hat{I}_B^2 Z_u| = \left| \frac{\hat{I}_{A_s}^2}{Z_{a^*b}^2} \cdot \Delta Z_x^2 \frac{Z_u}{(1+\lambda)^2} \right| =$$

$$= |\hat{I}_{A_s}^2 \cdot Z_{x_b}| \cdot \left| \frac{Z_{x_b} \cdot Z_u}{Z_{a^*b}^2} \right| \cdot \left| \frac{\Delta Z_s}{Z_x} \right|^2 \cdot \frac{1}{|1+\lambda|^2} . \tag{2}$$

Однако $|\hat{I}_A Z_A| = P_{x_0}$ мощность датчика при равновесии схемы и поэтому

$$P = P_{x_0} \left| \frac{Z_{x_0} \cdot Z_n}{Z_{n+b}^2} \right| \cdot \left| \frac{\varepsilon}{1+\lambda} \right|^2, \tag{3}$$

rae
$$s = \frac{\Delta Z_x}{Z_{x_0}}$$
.

Сказанное относится к режиму равновесия. При сильно расстро-

енной схеме мощность P_{x_0} рассеиваемая датчиком, может заметноотличаться от мощности P_{x_0} рассеиваемой в состоянии равновесия:

$$P_{s} = |I_{A}^{2}| \cdot |Z_{s}| = |I_{A} - \Delta I_{A}|^{2} \cdot |Z_{s_{0}} + \Delta Z_{s}|, \tag{4}$$

где согласно теореме об эквивалентной э.д.с.:

$$\Delta I_A = -\frac{I_A}{Z_{a^*a}} \cdot \frac{\Delta Z_{a^*a}}{\Delta Z_a - Z_{a^*a}} = -I_A \cdot \frac{E}{1 + \lambda}$$
 (5)

В силу (3) — (5) получим:

$$P_{\text{trepann.}} = P_{\perp} \cdot \left| \frac{Z_{x_0} \cdot Z_u}{Z_{a^*b}^2} \right| \left| \frac{\varepsilon^2}{1 + \varepsilon} \right| . \tag{6}$$

где s $\frac{\Delta Z_{t}}{Z_{t}}$.

Выражения (3) и (6) являются общими для всех электроизмерительных ценей уравновешивания. Они позволяют при заданной мошности датчика и известных общих параметрах измерительной цени (шестиполужника) определять мощность, передаваемую измерителю через мощность датчика. Кроме этого, при расчете и ценей сравнения вычислительной машине необходимо подавать только одну программу, общую для всех ценей сравнения.

АрмНПИчиергетики

Поступнио 5.1.114/9.

ր. ցա. ԼիևՏՅԻՆԴԵՐ, Մ. Դ. ՊԱՀԼԱՎՅԱՆ

ՀԱՄՆՄԱՏՄԱՆ ԸՆԴՀԱՆՐԱՑՎԱԾ ՇՂԹԱՆԵՐԻ ԷՆԵՐԳԵՏԻԿ ՀԱՐԱԲԵՐԱԿՑՈՒԹՅՈՒՆՆԵՐԸ

lk մ դեռ վշում

Դիտված են էլևկտրալափիչ չղθաներ և արտածված են համապատասխան Լներդետիկ հարաբերակցություններ, որոնց կարելի է ծրադրել էլեկտրոնային հայլիչ մեջենայի օգնությամբ հաշվարկ կատարևլու համար և ունենալ մեկ միասնական ծրագիր համեմատման տարբեր չղթաների համար

ЛИТЕРАТУРА

- 1. Адокц Г. Т. Миогополюсник. Изд. АН АрмССР, Ереван, 1965.
- Зелях Э. В. Основы общей теории линейных электрических схем. Пэд. АН СССР, М., 1951.
- Сигорский В. И. Методы анализа электрических схем с многополюсными элементами. Изд. АН УССР, Киев, 1958.
- 4. Левин М. 11. Электрические измерения, М., 1963.

Տեխնիկական դիտութ, սեբիա

XXII, 1, 1969

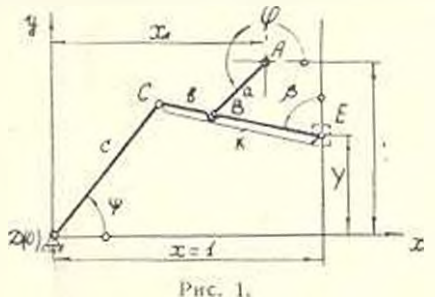
Серия в хинческих наук

машиностроения.

в. м. тапрян

К СИНТЕЗУ ПЛОСКОГО ПРЯМОЛННЕЙНО-НАПРАВЛЯЮЩЕГО МЕХАНИЗМА С ЧЕРТЯЩЕЙ ТОЧКОЙ НА ОСИ ШАТУНА

1. В [1] при решении задачи синтеза направляющих механизмов становится возможным определить только часть параметров кинематической схемы механизма, причем даже при определении четырех параметров коэффициенты приближающей функции вычисляются из системы нелинейных уравнений. В данной статье дается метод, с помощью которого решается поставленияя задача синтезя по шести параметрам прямолинейно-направляющего механизма, где коэффициенты приближающей функции вычисляются из системы линейных уравнений, а параметры механизма определяются из системы шести уравнений, которые приволятся к двум нелинейным уравнениям.



Изображенный на рис. 1 четырскшарнирный механизм на участке прямолинейного движения точки E можно представить как два кривошипно-ползунных механизма ДСЕ и АВС с общим шатуном, тем самым сведя поставленную задачу к проектированию двух кривошипно-ползунных механизмов, имеющих на участке приближения общий закон движения шатуна. Для рассматриваемых кривошипно-ползунных механизмов общим, связывающим является переменный параметр 3 (угол между направлением движения точки E и осью шатуна).

Механизм, представленный из рис. 1 при x=1 (удаление прямолинейного участка траектории чертящей точки E от оси оу) определяется следующими шестью постоянными параметрами:

a — длина звена AB; b — длина звена BC; c — длина шатуна CD; k — расстояние чертящей точки E от точки C; x_4 и y_A — координаты шарнира A.

Для рассматриваемых кривошинно-ползунных механизмов имеем

$$Y^{2} - 2Yc\sin b + 1 + c^{2} - k^{2} - 2c\cos b = 0;$$

$$Y^{2} - 2Y(y_{A} + a\sin p) - x_{A} - y_{A}^{2} + a^{2} - 1 - k^{2} - b^{2} + 2kb - 2x_{A} + 2x_{A}a\cos p - 2a\cos p + 2y_{A}a\sin p = 0.$$
(1)

гле φ и φ углы, образованные звеньями AB и CD с осью ox. Выразим углы φ и φ через переменные β и Y (рис. 1).

$$\sin \varphi = \pm \frac{(k-b)\cos\beta + Y + y_A}{a}$$

$$\cos \varphi = \pm \frac{1 - x_A - (k-b)\sin\beta}{a}$$

$$\sin \varphi = \frac{k\cos\beta + Y}{c}$$

$$\cos \varphi = \frac{1 - k\sin\beta}{c}$$
(3)

Подставив (3) в (1) и (2), получим:

$$Y^{2} + 2 Yk \cos \beta + 1 + k^{2} - c^{2} - 2 k \sin \beta = 0;$$

$$Y^{2} + 2Y \left[(k - b) \cos \beta - y_{A} \right] + x_{A}^{2} + y_{A}^{2} + 1 + b^{2} - a^{2} - 2kb$$
(4)

$$-2x_{A}-2x_{A}(k-b)\sin 3-2(k-b)\sin \beta-2y_{A}(k-b)\cos \beta=0.$$
 (5)

При нашей постановке задачи уравнения (4) и (5) имеют общий корень, который определяется через коэффициенты квадратных уравнений:

 $Y = \frac{q_1 - q_2}{q_1 - q_3} \,, \tag{6}$

гле

$$\begin{aligned} p_1 &= 2 k \cos \beta; \\ p_2 &= 2 \left[(k - b) \cos \beta - y_A \right]; \\ q_1 &= L - 2 k \sin \beta; \\ q_2 &= M + 2 (k - b) (x_A - 1) \sin \beta - 2 y_A (k - b) \cos \beta; \end{aligned}$$

$$L = 1 + k^{2} - c^{2};$$

$$M = 1 + k^{2} + b^{2} - a^{2} - 2kb - 2x_{A} + x^{2} + y_{A}^{2}.$$
(8)

Подстяновка выражения (6) в (4) или (5) тождественна и приводит к следующему уравнению:

$$s_1q_1 + s_2q_1 - s_1s_2(q_1 + q_2) + (q_1 - q_2)^2 = 0.$$
 (9)

2. Выражение (9) позволяет вычислить все шесть нараметров прямолинейно-направляющего механизма с чертящей точкой *E* на оси шатуна. Учитывая (7), после соответствующих преобразований (9), можем записать

$$A \left[p_0 f_0(\beta) + p_1 f_1(\beta) + \dots + p_5 f_5(\beta) - F(\beta) \right] = 0, \tag{10}$$

где

$$F(\beta) = \cos^3 \beta; \tag{11}$$

$$f_0(\beta) = 1;$$
 $f_3(\beta) = \sin 2\beta;$ $f_1(\beta) = \sin \beta;$ $f_4(\beta) = \cos^2\beta;$ $f_2(\beta) = \cos \beta;$ $f_3(\beta) = \sin 2\beta \cos \beta;$ (12)

$$A = 8 kb y_A (k - b); (13)$$

$$p_{A} = \frac{4Ly^{2} + (L - M)^{2} + 4(kx_{A} - bx_{A} + b)^{2}}{8kby_{A}(k - b)}.$$

$$p_{A} = \frac{(L - M)(kx_{A} - bx_{A} + b) + 2ky_{A}^{2}}{2kby_{A}(k - b)}.$$

$$p_{A} = \frac{L + M}{2k(k - b)}.$$

$$p_{A} = \frac{k(x_{A} - 2) - b(x_{A} - 1)}{2k(k - b)}.$$
(14):

$$p_{4} = \frac{l.b^{2} - kb(l - M) - y_{A}(k^{2} - b^{2}) - (kx_{A} - bx_{A} + b)^{2}}{2 kby_{A}(k - b)}$$

$$p_{s} = \frac{x_{A}}{2 y_{A}}.$$

Задача решается как методом квадратического приближения, так и методом интерполирования. При квадратическом приближении коэффициенты приближающей функции p_a , $p_a = p_b$ вычисляются из системы линейных уравнений

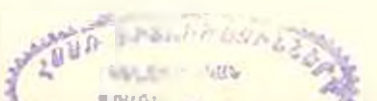
$$c_{00}p_{0} - c_{01}p_{1} + c_{05}p_{5} = \gamma_{0};$$

$$c_{50}p_{0} - c_{51}p_{1} + \cdots + p_{-\gamma_{5}}.$$
(15)

FAC

$$c_{lk} \Rightarrow \int_{-1}^{\frac{\pi}{2}} f_l(\beta) f_k(\beta) d\beta,^*$$
 $\begin{pmatrix} l = 0.1, ..., 5 \\ k = 0.1, ..., 5 \end{pmatrix}$; (16)

$$\gamma_l = \int_{b} F(\vartheta) f_l(\vartheta) d\vartheta, \qquad (l = 0, 1, \cdots, 5). \tag{17}$$



^{*} Все интегралы берутся в кнадратурах,

² TH, No 4

А при интерполировании вычисление коэффициентов сводится к решению системы уравнений вида:

$$a_{30}p_{0} - a_{33}p_{1} + \cdots + a_{55}p_{5} = b_{51}$$

$$(18)$$

rae

$$a_{ij} = f_i(\hat{g}_i);$$
 $i = 0, 1, \dots, 5$
 $b_i = f(\hat{g}_i);$ $j = 0, 1, \dots, 5$

Покажем как после вычисления коэффициентов $p_0, p_1 \cdots, p_8$ на системы лицейных уравнений (15) или (18) определяются параметры механизма. На выражения (14) путем исключения параметров a, c, x_4 и y_4 получим следующую систему двух нелицейных уравнений, относительно параметров k и b:

$$8 p_{3} p_{4} p_{5} k h (k-b)^{2} (k-b+\frac{1}{p}) (2p_{3} k^{2} - 2p_{3} k b + 2k - b) + 32p_{3}^{3} p_{5} k^{2} (k-b)^{2} (k-b)^{2} (k-b)^{2} (k-b)^{2} (k-b)^{2} (k-b)^{2} (k-b)^{2} (k-b)^{2} (2p_{3} k^{2} - 2p_{3} k b + 2k - b) + 2p_{3} (k-b)^{2} (k-b-b)^{2} (k-b-b)^{2} (k-b)^{2} (2p_{3} k^{2} - 2p_{3} k b + 2k - b) + 2p_{3} (k-b)^{2} (k-b-b)^{2} (k-b-b)^{2} (k-b-b)^{2} (k-b-b)^{2} (k-b-b)^{2} (k-b-b)^{2} (k-b-b)^{2} (k-b-b)^{2} (k-b-b)^{2} (k-b)^{2} (k-b)^{2}$$

Решая одини из известных методов, указанных в [2], систему нелинейных уравнений (19), получаем параметры k и b. Затем из системы уравнений (14) определяем параметры x_A , y_A и величины L и M

$$\frac{2p_3k(k-b) + 2k - b}{k-b} {.} {(20)}$$

$$\mathbf{y}_A = \frac{\mathbf{x}_A}{2p_a} \tag{21}$$

$$L = \frac{p_{A}(k-b)(kx_{A} - bx_{A} + b) - p_{1}kby_{A}(k-b) - ky^{2}}{kx_{A} - bx_{A} + b}$$
(22)

$$M = \frac{p_2 k (k-b) (k x_A - b x_A + b) + p_1 k b y_A (k-b) + k y_A^2}{k x_A - b x_A + b}$$
(23)

Далее с помощью (22) и (23) на уравнений (8) определяем

$$a = \frac{1}{1 + (k - b)^2 + x^2 + y_A^2 - 2x_A - M};$$
 (24)

$$c = \sqrt{1 + k^2 - L}, \tag{25}$$

После определения параметров механизма, по формуле (6) вычисляем Y_1 и Y_2 , соответствующие началу и концу интервала приближения по переменному β .

Отклонение от прямолинейности приближенно определяем по формуле:

$$\Delta = \frac{m_1 (1 - n_2) - m_2 (1 + n_1)}{m_1 - m_2}$$
 (26)

где

$$m_1 = -2k \sin 3;$$

$$m_2 = -2 \left[(k - b) \sin 3 - x_A \right];$$

$$m_1 = k^2 - c^2 + Y^2 - 2kY \cos 3;$$
(27)

$$m_2 = (k-b)^2 + x^2 - a^2 + (Y - y_A)^2 + 2(k-b)x_A \sin 3 - 2(k-b)(Y - y_A) \cos 3$$
.

В выражении (27) У определяется по формулс (6).

Пример. Требуется спроектировать четырехшарнирный прямолинейно-направляющий механизм по заданным значениям $\beta_1 = 70^\circ$, $\theta_2 = 120^\circ$. Задачу решаем методом квадратического приближения. По формулам (16) и (17) определяем величины ϵ_{tk} и γ_t .

Подставляя эти величины в (15) и решая полученную систему уравнений, находим значения коэффициентов:

$$\begin{array}{rcl}
 \rho_0 = & 1.287028; & \rho_3 = & 0.6854649; \\
 \rho_1 = & 1.285575; & \rho_4 = & 0.426580; \\
 \rho_2 = & 1.392158; & \rho_5 = & 0.578848.
 \end{array}$$

Подставив эти коэффициенты в (19) и решая систему уравнений, получим

$$k = 1,22183;$$
 $b = 0.89771.$

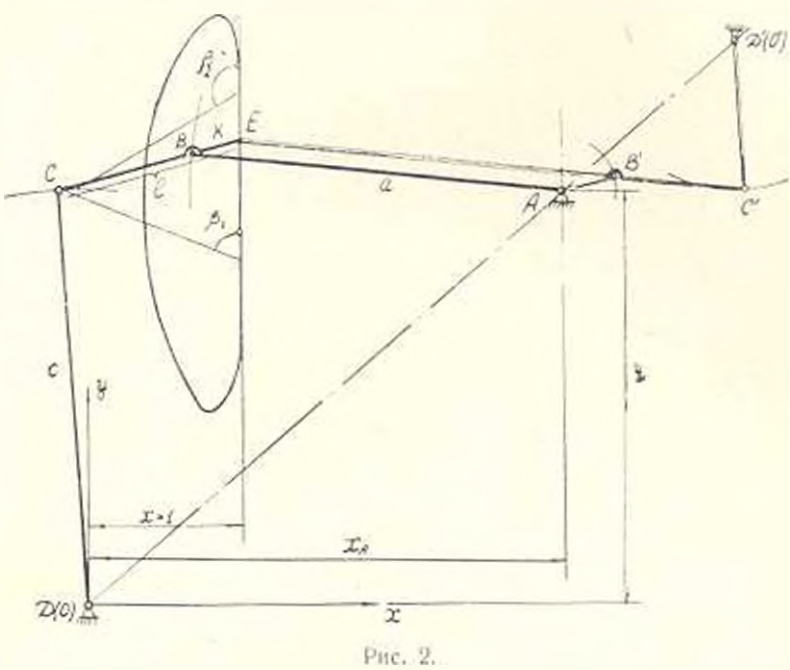
Из выражений (20), (21), (21) и (25) получаем численные значения остальных параметров:

$$x_A = 3.09468;$$
 $y_A = 2.67314;$ $a = 2.41889;$ $c = 2.67911.$

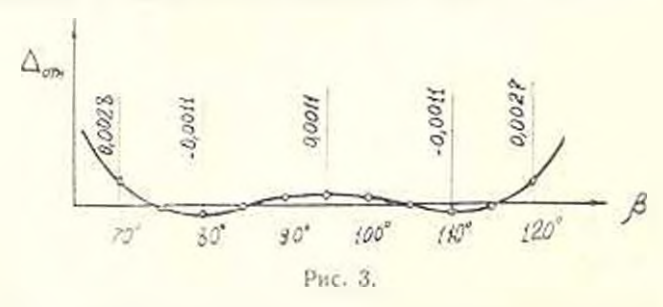
По формуле (6) вычисляем

$$Y_1 = 2,26613;$$
 $Y_2 = 3,28486.$

Полученный механизм изображен на рис. 2. где двумя тонкими линиями представлен так же преобразованный по теореме Робертса второй четырехзвенник с внешним расположением чертящей точки Е,



причем углам 3 соответствуют углы поворота звена АВ' преобразонанного четырехзвенника. Из этих двух четырехзвенников выбирается тот, который в условиях конкретной задачи представляется наи-



более удобным. Отклонения от прямолинейности на участке приближення (рис. 3) определяются по формуле (26).

Ереванский политехнический институт им. К. Маркса

Поступило 6.111.1969.

վ Մ ԹԱԵՐՅԱՆ

ՀԱՐԺ ՈՒՂՂԱԳԻԾ-ՈՒՂՂՈՐԳԱՅԻՆ ՄԵԽԱՆԵԶՄԻ ՍԻՆԹԵԶԸ, ԵՐԸ ԳԾՈՂ ԿԵՏԸ ԳՏՆՎՈՒՄ Է ՇԱՐԺԱԹԵՎԻ ԱՌԱՆՑՔԻ ՎՐԱ

Had dan dan ad

ուղղացիծ-ուղղորդային մեխանիզմ վեց անհայտ պարամետրներով։ Ստադաղղացիծ-ուղղորդային մեխանիզմ վեց անհայտ պարամետրներով։ Ստադված է երկու շուտավիկ սողնակային մեխանիզմների ամատեղայիյան պայմանը և վեց պարամետրների հաշվման համար այն բերված է բազմանդամի տեսքի։ Արտածված են բանաձներ մեխանիզմի ան այտ պարամետրները հաշվելու համար։ Ցույց է արված, որ այդ դեպրում մոտարկվող ֆունկցիայի պարաժետրները որոշվում են գծային հավասարումների սիստեմից, իսկ մեխանիզմի պարամետրները որոշող բանաձևերը բերվում են երկու ոչ գծային հավասարումների սիստեմի։

Լուժված է մասնավոր օրինակ, երբ շարժաներ և դծող կետի հետադծի միջև կազմված անկյունը ունի 1 — 10 և β₂ — 120 արժեքները։

ЛИТЕРАТУРА

- 1. Артогол векий И. И., Левитекий И. И., Черкудинов С. А. Чингел плоских механизмов. Физматти 1, 1959.
- 2. Домисович В. П., Марон П. А. Основы вычислите внои математики, Физматия, 1966.

Տեխերկական գիտութ, սեբիա

XXII, 4, 1969

Серия технических наук

ТЕПЛОТЕХНИКА

TRABABLIC L

АЛГОРИТМ ОПТИМИЗАЦИИ РЕЖИМА КОТЕЛЬНОЙ ГРИППЫ ТЭС ПРИ ЗАДАННОМ РАСХОДЕ ОДНОГО ИЗ ВИДОВ ТОПЛИВА

1. В эксплуатационных условиях часто возникает необходимость онтимизации режима котельной группы ТЭС при заданном расходе газя на станцив. Подобная задача была решена В. М. Синьковым [1]. В основу построения адгоритма по наивыгоднейшему распределению нагрузки в котельных, работающих на двух видах топлива, был положен классический метод отыскания условного экстремума целевой функции, сводящийся к решению системы нелинейных алгебраических уравнений 4n степени, где n — число котлоагрегатов. Реализация этого алгоритма на AIIM встречает ряд трудностей. Во-первых, при некоторых значениях соотношения газа а смеси с и неопределенного множителя Лагранжа у, определяемого заданным балансом расхода газа, характеристики относительных приростов расхода смеси топлив становятся немонотонными. Это обстоятельство делает особенно неблавоприятиым приложение классического анализа, так как получаемая в подобных случаях многозначность решения становится почти непреолодимым препятствием на пути реализации метода. Во-вторых, возникают значительные осложиения, срязанные с учетом ограничений по т. В-третьих, при большом числе котлов, установленных на станции, оптимизация режима котельной с учетом ограничений по топливу сволится к решению системы нелинейных алгебранческих уравнений довольно высокого порядка, что само по себе представляет значительные трудности вычислительного характера. Перечисленные педостатки классического метода явились определяющими для изыскания новых математических средств, которые не в ущерб корректности поставленной задачи могут обойти возивкающие труд-HOCTIL.

Предварительный анализ существующих математических методов показал, что для подобного класса задач наиболее целесообразным с точки аренця алгоритмизации является аппарат двухмерного динамического программирования в дискретном приближении [2]. Использование этого метода во многом упрощает вычислительный план оптимизации, исключает исобходимость решения системы нелинейных алгебраических уравнений высокого порядка, позволяет преодолеть

проблему многозначности решения и совершенно просто учитывает ограничение по E.

2. Рассматривается тепловая электростанция, состоящая из различных гипов котлон, работающих на общий коллектор по острому пару. Состав работающей котельной группы ТЭС считается известным. Необходимо заданные тепловую нагрузку котельной и суммарный расход газа распределить между котлоагрегатами так, чтобы суммарный расход топлина по станции был бы минимальным. Фактически эта задача сводится к минимизации не всего используемого на станции топлива. а только той его части, на которой не накладывается ограничение. Олнако на этот расход оказывает илияние режим распределения топлива, на который накладывается ограни сине. Для заданного состава, включенного в работу котлов, необходимо минимизировать функцию:

$$\Phi_0 = \sum B_t(Q_t, A_t) \tag{1}$$

по Q, и А, при ограничениях

a)
$$\sum_{i=1}^{k} Q_{i} = Q_{2} \qquad Q_{i} \leq Q_{i} \leq Q_{i}$$

$$\sum_{i=1}^{k} A_{i} = A_{2} \qquad Q \in A_{i} \leq A_{i}^{*}$$
(2)

где B_i — расход условного топлива i-го котла;

Ф тепловая нагрузка I-го котла;

 A_i — рясход газа на котле:

А -- звданный по станции часовой расход газа;

Q:- суммарная тепловая нагрузка котельной:

k — общее число находящихся в работе котлов.

Здесь индексом О обозначены минимальные значения переменных, а индексом — максимальные. Используя идею множителя Лагранжа, рассмотрим видоизмененную функцию

$$\Phi = \Phi_0 + \lambda \sum_{l=1}^k A_l = \sum_{l=1}^k B_l(Q_l, A_l) + \lambda \sum_{l=1}^k A_l$$
 (3)

при ограничениях

$$\sum_{i=1}^{n} Q_{i} = Q_{i} \qquad Q_{i} \leq Q_{i} \leq Q_{i}$$

$$0 \leq A_{i} \leq A_{i}$$
(4)

Введем обозначения долевого расхода газа в смеси:

$$\xi_i = \frac{A_i}{B_i}$$
.

Отсюда

$$A_i = \xi_i B_i \,. \tag{5}$$

С учетом уравнения (5) минимизируемая функция (3) записывается так:

$$\Phi = \sum_{l=1}^{\infty} B_{l}(Q_{l}, z_{l}) + \lambda \sum_{l=1}^{\infty} z_{l} B_{l}(Q_{l}, z_{l}) = \sum_{l=1}^{\infty} B_{l}(Q_{l}, z_{l})(1 + iz_{l})$$
 (6)

при ограничениях

$$\sum_{i=1}^{n} Q_i = Q_2 \qquad Q_i \leqslant Q_i \leqslant Q_i$$

$$0 \leqslant \xi_i \leqslant 1$$
(7)

При различных соотношениях расходон двух потребляемых вилов топлива действительный расход смеси при постоянной нагрузке будет лежать между двумя крайними значениями, соответствующими работе котла на отдельных видах топлива.

Принимяя близкую к действительности линейную интерноляцию расхода топлива при работе котла на смеси, в зависимости от долевого соотношения расходов различных видов топлива, можно записать:

$$B_t(Q_t, \xi_t) = A_{ut}\xi_t + B_{ut}(1 - \xi_t),$$
 (8)

где A_{at} — расход газа при данной нагрузке, когда котел работает на чистом газе;

 B_{ot} — расход второго вида топлива при той же нагрузке, когда газ полностью отсутствует.

С учетом (8) минимизируемая функция примет вид:

$$\Phi = \sum_{i=1}^{n} [A_{ol}\xi_i \cdots B_{ol}(1-\xi_l)](1-i\xi_l)$$
(9)

при ограничениях

$$\sum_{l=1}^{k} Q_{l} = Q_{1}$$

$$Q_{l}^{0} \leq Q_{l} \leq Q_{l}^{0}$$

$$0 \leq \tilde{\epsilon}_{l} \leq 1$$
(10)

где / — предполагается на время фиксированным параметром.

Паиболее рациональным аппаратом для минимизации функции (9) с учетом ограничений (10), как было отмечено выше, является аппарат днухмерного динамического программирования в дискретном приближении. Переменными величинами в этих выражениях являются тепловые нагрузки котлоагрегатов Q_i и долевое соотношение расхода газа в смеси в. Минимизацию по в можно выполнить независимо от минимизации по Q_i . Поэтому вводим функцию:

$$z_{t}(Q_{t}, h) = z_{t}(Q_{t}) = \min[A_{o}(z_{t} + B_{o}(1 - z_{t})](1 + E_{t})$$

$$0 < z_{t} < 1$$
(11)

для всех $i=1, 2, \cdots, k$.

Таким образом, построив функции $\pi_\ell(Q_\ell)$ для всех k котлов, поставленную задачу можно свести к типу задач, наиболее успешно

решяемых анпаратом одномерного динамического программирования, т. е. минимизация функции:

$$\sum_{t=1}^{k} \varphi_t(Q_t) = \min \tag{12}$$

при ограничениях:

a)
$$\sum_{i=1}^{n} Q_i = Q_{-i}$$

$$Q_i \leq Q_i \leq Q_{i-1}$$
(13)

Теперь необходимо мишимизировать одну к-мерную функцию

$$f(Q) = \min \varphi (Q_1, Q_2, \dots, Q_k)$$

$$Q_i = Q_i \leqslant Q_i^*$$
(14)

при ограничении:
$$\sum Q_i = C$$

$$\sum Q_i = Q_2. \tag{15}$$

Используя принции оптимальности, эту задачу сводим к решешию k-одномерных задач. С этой целью построим следующие рекуррентные соотношения:

$$U_{1}(Q) = \varphi_{1}(Q_{1});$$

$$U_{2}(Q) = \min \left[\varphi_{2}(Q_{2}) - U_{1}(Q - Q_{2}) \right];$$

$$U_{k}(Q) = \min \left[\varphi_{k}(Q_{k}) + U_{k-1}(Q - Q_{k}) \right];$$

$$Q$$
(16)

тте $\varphi_1(Q_1)$, $\varphi_1(Q_2)$, ..., $\varphi_k(Q_k)$ вычисленные по уравнению (11) функции.

Функция $U_1(Q)$ структурно отянчается от всех остальных функций системы (16). Для универсализации программы, реализующей данный алгоритм на АЦМ, необходимо в первое уравнение системы (16) ввести функцию $U_1(Q)$, придав ей заведомо большое значение. Тогда функция $U_1(Q)$ примет анд:

$$U_{1}(Q) = \min \left[z_{1}(Q_{1}) + U_{0}(Q - Q_{1}) \right];$$

$$Q_{1}^{0} \leq Q_{1} \leq Q_{1}$$
(17)

Реализация построенного алгоритма на АЦМ позволяет определить искомые переменные — тепловые нагрузки и соотношение различных видов топлива всех находящихся в работе котлоагрегатов, а также расход топлива на каждом котле, который по выражению (5)

определяет соответствующий расход газа. После этого проверяется условие баланса расхода газа по станции, выполнение которого достигается с помощью изменения коэффициента 1.

АрмИППЭнергетики

Поступило 11.ХП.1968.

2. U. PILPUSUL

ՋԼԿ-ի ԿԱԹՈԱՅԱԿԱՆ ԽՄԲԻ ՌԵԺԻՄԻ ՕՊՏԻՄԱԼԱՑՄԱՆ ԱԼԳՈՐԻԹՄԸ ՈՐԵԼԷ ՏԵՍԱԿԻ ՎԱՌԵԼԵՔԻ ՏՎԱԾ ԾԱԽՍԻ ԳԵՊՔՈՒՄ

Ամփոփում

Դիտված է ՋԷԿ-ի կաթսայական խմբի ոնժիմի օպաիմալացումը ԹՀՄ-ի վրա Հաշվելու ալգորիթեր՝ օգտագործվող որևէ տեսակի մառնկերի սահմանափակման դեպբում։ Ալգորիթեր կառուցված է մաթեմատրկական երկու մեթողների՝ գիսկրնա մոտեցումով դինամիկ ծրագրման և կլասիկ անալիդի, դուդակցման հիման վրա։

Օգտագործված է չափողականության իջնցման Լաորանժի բաղմա<mark>պատ</mark> կիչի զաղափարս, որը թույլ է տալիս խնդիրը բերևլ միալափ տեսքի։ Այդ դնպքում խնդիրը լուծվում է Բելլմանի ֆունկցիոնալ Համասարումների օգնու Թյամբ

Առաջարկվող ալգորիքներ Ռույլ է տալիս օպտինալացնել կաքսա<mark>յական</mark> ռեժիմը վառելիրների խառնուրդով աշխատելիս և միաժամանակ կառուցել երա հայվային բնությադիրը, որն անհրաժեշտ է կայանի ընդհանուր ռեժիմի Հայտինալացման համար։

ЛИТЕРАТУРА

- 1. Синьков В. М. Экономическое распределение нагрузки между наровыми котлани на электростанциях, сжиганиих два нида тоглина. ИТИ, Киев, 1966.
- Веллман Р., Дрейфус Прикладные задачи динамического программирования. Изд. Наукат, М., 1965

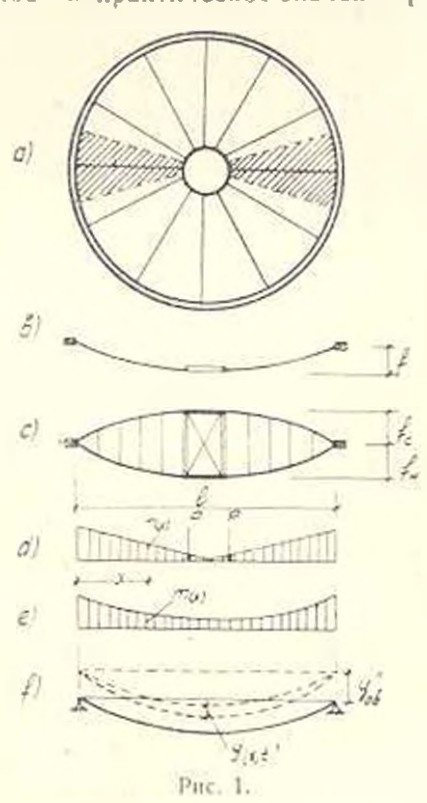
СТРОИТЕЛЬНАЯ МЕХНИКА

г. а. абовян, э. е. хачиян, г. ц. погосян

К ИССЛЕДОВАНІЮ СЕЙСМОСТОЙКОСТИ ВИСЯЧИХ ПОКРЫТИЙ

За последние годы в сейсмических районах нозводятся большепролетные общественные и промышленные сооружения. Разработка четодов расчета таких сооружений на вертикальное сейсмическое воздействие вмест важное теоретическое и практическое значение [1].

В статье рассматриваются попросы определения частот и форм свободных колебаний, а также сейсми теской нагрузки для инсячего покрытия круглого очертания с радиальным расположением вант (рис. 1, а), иагруженного равномерно-распределенной нагрузкой по всей поверхности покрытия, опорный контур которого колеблется в нертикальной илоскости по произвольному закону. При решении задачи предполагается, что опорный контур недеформируем; благодаря осевой симметрии покрытия и нагрузви работа всех элементов одинакова, что позволяет свести расчет пространственной спстемы к расчету отдельной плоской системы (рис. 1, b); расчет двухноясной системы приводится к однопоясной с учетом безынерционной пагрузки от напрягающего пояса (рис. 1, е); постоянная нагрузка с учетом ве-



са внутреннего кольца P (рис. 1, d), принеденная к горизонтальной плоскости, принята и виде нараболы (рис. 1, e). Применимость указанных допущений доказана многочисленными исследованиями [3, 4, 5, 6]. Таким образон расчетиля схама висячего покрытия приводится к гибкой нити (рис. 1, e), загруженной нагрузкой, распределенной по закону

$$m(x) = m_0 \left(1 - \frac{3x^2}{l^2} - \frac{3x}{l} \right). \tag{1}$$

где l — пролет вити; m_0 — максимальная ордяната массы у опорного контура.

1. Дифференциальное уравнение свободных колебаний гибкой нити будет

$$N\frac{\partial^2 y}{\partial x^2} - m(x)\frac{\partial^2 y}{\partial t^2} = 0, (2)$$

где N= усилие (натяжение) нити от внешней статической нагрузки и от предварительного натяжения системы (при налични носледнего).

Решение уравнения (2) отыскиваем в виде

$$y(x, t) = \sum_{t=1}^{\infty} Y_t(x)U_t(t).$$
 (3)

Подставляя (3) в (2) и разделяя переменные, получим

$$Y_{\ell}(x) = P_{\ell}^{2} \frac{\pi}{2} \left(1 + \frac{1}{2} - \frac{1}{\ell}\right) Y_{\ell}(x) = 0;$$
 (4)

$$U_1(t) + P^2U_2(t) = 0,$$
 (5)

где P_I — круговая частота; i-ой формы свободных колебаний; Y(x) -форма колебаний.

Для решения уравнения (4) пользуемся методом Галеркина, представив его в виде

$$Y_i(x) = \sum_{i=1}^{n} C_i Z_i(x).$$
 (6)

где постоянные коэффициенты C_1 определяются из системы уравнений

$$C_{1}\Delta_{11} - C_{2}\Delta_{12} + C_{2}\Delta_{13} - \cdots - C_{n}\Delta_{1n} = 0;$$

$$C_{1}\Delta_{n1} + C_{n}\Delta_{n2} + C_{1}\Delta_{n3} + \cdots + C_{n}\Delta_{nn} = 0;$$

$$(7)$$

в которых

$$\Delta_{ij} = \int L[Z_i(x)]Z_j(x) dx. \tag{8}$$

Особенность метола Галеркина заключается в том, что минимизирующая функция $Z_t(\mathbf{x})$ лолжна одновременно удовлетворять условиям ортогональности и граничным условиям. Для уравнения (4) в качестве таких функций можно принять решение уравнения (4) при постоянной нагрузке

$$Z_{\ell}(x) = \sin \frac{\ell - x}{\ell}$$
 (9)

гле $l = 1, 2, 3, \cdots n$.

Приравнивая нулко определитель системы (7), получим уравнения n-го порядка относительно квадрата круговой частоты P_{l} . Решение полученного частотного уравнения можно представить в виде

$$P_t = \mathbf{z}_t \frac{\pi}{I} \left[\begin{array}{c} N \\ \vec{m_0} \end{array} \right] \tag{10}$$

где ж — числовой коэффициент, зависящий от формы колебания и от количества взятых членов в ряде (6).

Значения и для первых пяти форм колебания, полученные решением частотного уравнения при разных приближениях, приведены в табл. 1.

Таблица 1 Приближ. H IV V 11 Пириа колебан. 1,707 1,708 1,721 1.713 1.710 11 3,113 3,032 2,995 2,993 2,992 4,517 4,506 4,495 4,491 4,491 111 13" 5.788 5,786 5,784 5.783 5,782 7,011 7,016 7,013 7.011 V 7.020

Из таблицы видно, что для практических целей достаточно ограшачных вычислением частот форм колебаний с точностью трех приближений. В качестве примера рассмотрим проект висячего покрытия Дворца спорта в Ереване пролетом 100 м. При стреле провисания 4 м. расчетной нагрузке 460 кг мг, количестве вант 96, с преднапряжением равным $10^{9}/_{0}$ от внешней нагрузки, усилие в одной ванте N=157.5. Подстановкой значения N в (10) получены следуюшие три периода свободных колебаний покрытия:

$$T_{1} = \frac{2\pi}{1.707} - \frac{2\pi}{1.707} = 3,59ce\kappa;$$

$$T_{2} = \frac{2\pi}{P_{2}} - \frac{2\pi}{2,992 \frac{3.14}{100} \int \frac{157500}{150}} = 2.02 ce\kappa;$$

$$T_{3} = \frac{2\pi}{P_{3}} - \frac{2\pi}{4,491 \frac{3.14}{100} \int \frac{157500}{150}} = 1,35 ce\kappa.$$

2. С целью определения сейсмической нагрузки р семотрены вынужденные колебания покрытия при перемещении опорного контура в вертикальной плоскости по произвольному закону. Дифференциальное уравнение вынужденных колебаний будет

$$m(x)\frac{\partial y(x-t)}{\partial t^2} - N\frac{\partial y(x-t)}{\partial x^2} = -m(x)y_{oo}(t), \tag{11}$$

гле у_{оп} (f) нертикальное ускорение движения опорного контура (вертикальная составляющая ускорения движения грунта при землетрясении).

Решение уравнения (11) ищем в виде

$$y(x, t) = \sum_{i=1}^{n} Y_i(x) V_i(t),$$
 (12)

где $Y_{\ell}(x)$ — решение уравнения (4); $V_{\ell}(t)$ — неизвестные функции времени. Подставляя (12) в (11), получим

$$\sum_{i=1}^{n} [m(x) Y_i(x) V_i'(t) \rightarrow N Y_i(x) V_i(t)] = -m(x) y_{ob}(t).$$
 (13)

Учитывая (4), получим

$$m(x) \sum Y_{t}(x) [V_{t}(t) + P_{t}V_{t}(t)] = -m(x) y_{in}(t).$$
 (14)

Умножая обе части уравнення (14) на $Y_i(x)$ и интегрируя в пределах [0, I], получим

$$\int_{0}^{t} m(x) \sum_{i=1}^{\infty} Y_{i}(x) Y_{i}(x) [V_{i}(t) + P_{i}^{2} V_{i}(t)] dx = -y \cdot (t) \int_{0}^{t} m(x) Y_{i}(x) dx.$$
(15)

. Петко доказать, что при любых $i \neq j$ имеет место равенство

$$\int_{0}^{x} m(x) Y_{j}(x) Y_{j}(x) dx = 0$$
 (16)

и поэтому выражение (15) примет нид

$$V_t(t) - P_t^2 V_t(t) = F_t(t),$$
 (17)

где

$$F_{t}(t) = -y_{cor}(t) \frac{\int_{0}^{t} m(x) Y_{t}(x) dx}{m(x) Y_{t}^{2}(x) dx}$$

$$(18)$$

При учете внутреннего трения по эквивалентной гипотезе Фохта, уравнение (17) записывается в виде

$$V_{i}(t) + P_{i}V_{t}(t) + \frac{2\pi}{P_{i}}V_{i}(t) - F_{t}(t),$$
 (19)

тде у — коэффициент внутреннего трения при 1-ой форме колебания. Окончательное решение неоднородного дифференциального уравнения (19) при нулевых начальных условиях булет

$$V_{t}(t) = -\frac{1}{P_{t}} \int_{0}^{t} F_{t}(t) e^{-\frac{z_{t}P_{t}}{2} H - 3} \sin P_{t}(t - 1) dt.$$
 (20)

Общее значение перемещения можно представить в виде

$$y(x, t) = -\sum_{i} Y_{i}(x) \frac{\int_{0}^{R} m(x) Y_{i}(x) dx}{\int_{0}^{R} m(x) Y_{i}(x) dx}$$

$$\times \frac{1}{P_{t}} \int_{0}^{R} y_{os}(t) e^{-\frac{1}{2} - \frac{(t-s)}{sin}} P_{t}(t-s)$$
(21)

Выражение сейсмической нагрузки

$$S(x, t) = m(x) [y_{ob}(t) + y_{t}(x, t)]$$
 (22)

для висячего покрытия на основании (21) примет вид

$$S(x, t) = \frac{Q(x)}{\sigma} \cdot \sum \eta_{ti}(x) = t, \qquad (23)$$

FIE

$$\eta_{in}(x) = Y_{i}(x) \frac{\int_{0}^{1} m(x) Y_{i}(x) dx}{\int_{0}^{1} m(x) Y_{i}^{2}(x) dx} - \frac{1}{\int_{0}^{1} m(x) Y_{i}^{2}(x) dx}$$

козффициент формы вертикального колебания по і-ой форме;

$$\tau_{i}(T_{in}, \psi_{in_{i}}, t) = \frac{2\pi}{T_{in}} \int_{0}^{t} y_{on}^{i}(t) e^{-\frac{2\pi i \pi}{T_{in}}(t-1)} \sin \frac{2\pi}{T_{in}}(t-1) d\zeta$$
 — приведенное

сейсинческое ускорение опорного контура от вертикальной состанляющей колебания грунта [2]. Полученная формула (24) позволяет определять сейсмическую инершионную нагрузку при произвольной вышуждающей силе.

Ереванский политехнический институт им. К. Маркса, АИСМ 🐀 և, Առովեսը, է, Ե, հացրեսը, 🚉 👂 ՊՈՂՈՍՅԱՆ

ԿՈՒՈՎԻ ԾԱԾԿԵՐԻ ՍԵՅՈՐԱԿԱՑՈՒՈՒՐՅԱՆ ՀԵՏԱԶՈՏՄԱՆ ՇՈՒՐՋԸ

Ասնավորականում

_ոգվածում ուսումնասիրվում է առակացծում կլոր հղրացծով չառավրդավանաային ծածկերի դինամիկ բնությացիրը։ Ստացված կանգրի աղատ ատուսնումների հիմնական (2) դիքերնեցիալ հավասարումը, որի լուժումը Գալլուկիսի հղանակով ընդվում է աղատ աստանումների հաճախության ուրդման (10) արտաճալտությանը։

Սաիպողական աստանումների Դոմապան դիֆերենդիալ հավաստա<mark>ման</mark> չուծումով ատադմած է սեյսմիկ ուժի արտահայտուկյունը հակավի ծաձկերի Համատ

ЛИТЕРАТУРА

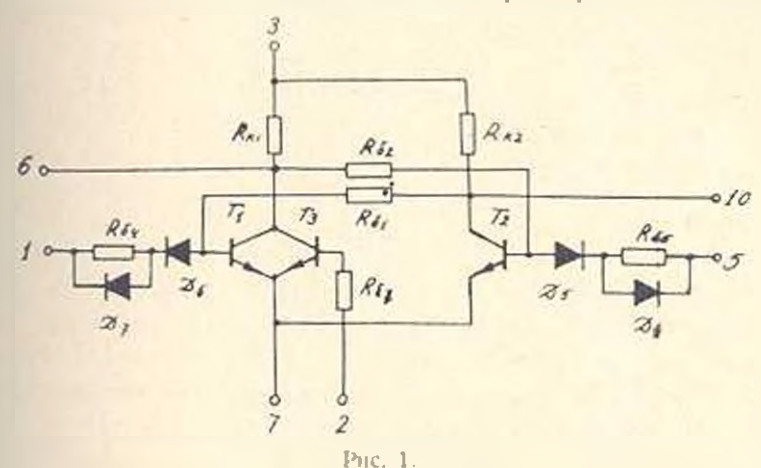
- 1. СНиП 11-А. 12—62 "Строительство в сейсмических районах. Пормы проектирорования", М., 1963
- Хачиян Э. Е. Некоторые прикладные задачи теории сенсмостонкости сооружений. Еренап, 1963.
- Ржаниция Я. Р. Статика и динамика пологой упругой цити. Сб. под ред. И. М. Рабиновича. М., 1962.
- Лесников В. В., Харитонова Е. П. Экспериментальные исследования висячих оболочек кругового очертания в плане. Сб. под ред. И. Г. Людковского, М., 1962.
- Гасанов А. И. Сейсмостойкос в заяний с висячими покрытиями. Автореферат диссертации. Баку. 1966.
- Степанавичус А. К. Экспериментальное исследование двухноясных пространственных предварительно напряженных висячих систем с гибким и жестким кругами контуром. Научные труды ВУЗ-оп Литовской ССР. Строительство и архитектура, V.1.1966.

ВЫЧИСЛИТЕЛЬНАЯ ТЕХНИКА

А. В. НИКОЛАЕВ, Б. Л. ДОИНЕР, П. М. ШАТАХЯН

РАЗРАБОТКА СИСТЕМЫ ТЕСТОВ ДЛЯ ВЫХОДНОГО КОПТРОЛЯ ИНТЕГРАЛЬНОЙ СХЕМЫ ТРИГГЕРА СТАТИСТИЧЕСКИМ МЕТОДОМ

Рассматринается системя тестов для выходного контроля схемы триггера, описанного в [1] с импульсно-потенциальным управлением, работающего в статическом режиме, то есть без учета емкостей (рис. 1) Олним из устойчивых состояний триггера является случай,



когла его правое илечо открыто, а левое—закрыто. Тогда с точки 10 должно синматься низкое напряжение U_{\max} — логический вуль, а с точки 6 высокое напряжение U_{\max} — логическую единицу. Такое состояние триггера поддерживается высоким уровнем потенциала на входе 5 и низким — на входах I и 2. Паличие диодов во входных ценях позволяет перебрасывать триггер из одного устойчивого состояния в другое, воздействуя на его входы только низким уровнем потенциала. Посредством же сбросового входа 2 триггером можно управлять и высоким уровнем потенциала.

Исходя на соображений, приведенных выше, а также учитывая осоценности работы данной схемы триггера, можно составить следующую систему тестов, показанную в табл. 1

Тест № 1. Проверяется выходное низкое напряжение схемы триггерв, когда его правое плечо T, находится в закрытом состоянии, в леное T_1 , T_2 — в открытом. В точке 6 должно быть напряженти, м 4

TOR	enni	4		Последовательность тестов						Пределя измерения	
N 10	М тестов Предмет измерении Размер	точка 1	10чка 2	точка З	точка 5	точка 6	гочка	точка 10	мия.	макс	
1	U_{a}	8		a N	Ek Milli			ЭМ	U _{BX II}		L'ann
2	-f ₁₀	Ma		311	Eu siin	Cax a		3/1	UBMA N	Інагр	
3	U_{th}	B		1 ад п	Ен хин		t nx o	314	1		Indx II
į	I _a	ма	Unx n	₹′ых п макс	Es win		Lax 8 8000	'IM		Larp	
5	1,	,un		Una n	E _{R MIIII}			ЭИ	Ust n		I_1
6	1,	ма		Сих и шикс	Ен маке			334	E HX II		t _{ation}
7	1,	Ma		Cara	ER HORE			318	Unx n		Inx pac
8	1,3	Ma		aM	Ек маке		Unx n	.134			Inhat a
9	110	ма			Ex unre		3 .1/	ЭМ	Сах в макс		Ina pac
10	I.	ма		ач	Ен мике		L Make	3.8	ам		lang trace

ние не выше U пых накс. так как при подаче на нагрузку это напряже ние суммируется с помехой по аключению У Полученное входное напряжение не должно превосходить некоторую величину Una и макс, при которой схема еще может считаться закрытой. Наихулшей нагрузкой будет случий, когда на выходе открытой схемы нег нагрузки. Действительно, чем меньше параллельно сое инвенных входов-нагрузок, тем выше выходное напряжение. А входным током од ной закрытой схемы, у которой огромное входное сопротивление можно пренебречь. Потому измеряется напряжение непосредствения на выходе открытой схемы. Для получения на выходе о наибольшего выходного напряження нужно, чтобы через $R_{\rm kl}$ текли минимали ные токи открытого плеча, для чего на вход одного на спарения транзисторов подается уровень минимальной единицы, вход другого транаистора T_i заземляется. Непосредственно на точку 10 можно поцавать $U_{una, unu}$, так как одним на последующих тестов проверяем: нагрузочная способность закрытого илема триггера, потому, если сувма годная, при любой нагрузке высокое выходное напряжение и может быть ниже 📒 ини. Последняя величина взята с учетом помехи по выключению ΔU^{t-1} , то есть даже при максимальной помех напряжение на входе Т, будет не ниже U мян [2]:

$$U_{\text{MARN}} = U_{\text{MARNIM}} - \Delta U^{-1}. \tag{1}$$

Для нахождения выходного напряжения насыщенного транзи-

стора используются параметры кусочно-линейной аппроксимации выходной характеристики транзистора $I_{\kappa} = f(U_{\kappa 3})$ при $I_0 = \text{const}$ (рис. 2).

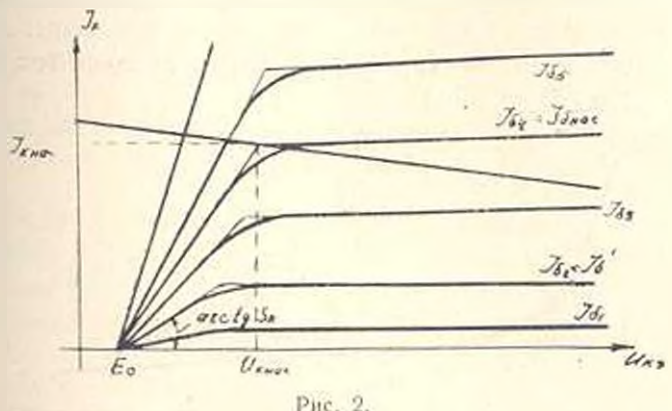


Рис. 2.

Здесь E_0 — пороговое напряжение на коллекторе, при котором коллекторный ток еще ранен нулю, β_N^* — коэффициент передачи базового тока в схеме с общим эмиттером на границе насыщения при нормальном включении транзистора, S_k величина проводимости аппрожении рованиого активного участка выходной характеристики транянстора при некотором входном токе $I_0 = I_6$. Характеристику S можне аппроксимировать прямыми

$$S_{\bullet} = \begin{cases} \frac{I_{\bullet}S_{\bullet}}{I_{6}} & \text{при } I_{\bullet} \leq I_{\bullet} \\ \frac{I_{\bullet}S_{\bullet}}{I_{6}} + a (I_{6} - I_{6}'), & \text{при } I_{6} > I_{6}. \end{cases}$$
 (2)

Величина степени насыщения транзистора равна

$$S_1 = \frac{\beta N I_{44}}{I_{8,1046}}.$$
 (3)

Вазовый ток 161 без учета сдвига иходных характеристик от насыщения [3] можно определить на входной характеристики транзистора, сиятой для степени насыщения S=1.

Коллекторный ток насыщения определяется из выходной характеристики $I_{\kappa}=f(U_{\kappa s})$ при $I_{\delta}={\sf const.c.}$ помощью выражения

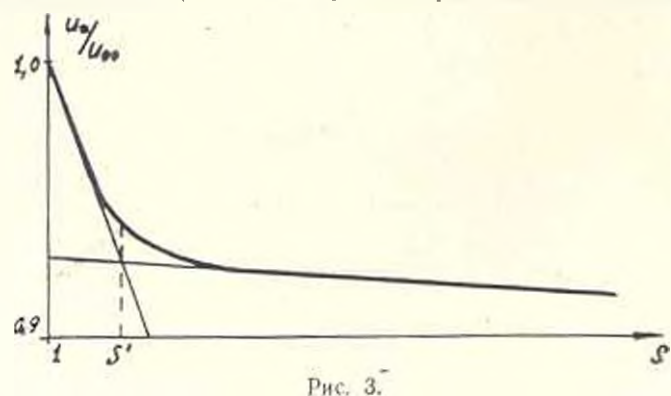
$$I_{\kappa \text{ tract}} = \frac{E_{\kappa \text{ to }} - I_{\kappa \text{ to }} R_{\text{to }} - E_{\text{to }}}{1 + R_{\text{kl}} S_{\text{to }}} S_{\kappa \text{l}}. \tag{4}$$

Обычно $R_{\rm x} \gg 1.8$ тогда $I_{\rm c, inc}$ без большой погрешности можно принять не зависящим от изменения 5 в противном случае следует вычислить $S_{
m apt}$ с помощью выражения (2) и только потом подставить его в (4).

После нахождения степени насыщения с помощью выражений (2) (4) могут представиться два случая.

1°. $S_1 > 1$. Тогда необходимо учесть сдвиг входимх характеристик, так как $U_{\rm m}$ в зависит от $S_{\rm kp}$, а $S_{\rm kp}$ и свою очередь — от I_{δ} .

От изменения степени насыщения $r_{\rm e}$ почти не меняется, изменяет свое значение только $U_{\rm eo}$. На рис. З показана зависимости- $U_{\rm eo}U_{\rm eo}$ от S меняющаяся во всем возможном диапазоне. Здесь $U_{\rm e}$ величина входного напряжения, при котором входной ток принимает-



ся равным нулю для любой величины S. Эту характеристику можно аппроксимировать следующей прямой

$$U_0 = U_{00} \left(a - \frac{S_0 - 1}{b} \right), \tag{5}$$

где \$\ — величина степени насыщения, определениая без учета слвига входных характеристик

$$a = a_1, \quad b = b_1$$
 при $S \leqslant S';$ $a = a_2, \quad b = b_2$ при $S = S'$ (6)

Здесь a_1 , a_2 , b_4 , b_4 , S' — экспериментально найденные параметры кусочно-линейной аппроксимации $U_0 = f(S)$, единые для всех транзисторов, полученные по методу наименьших квадратов.

Тогда

$$I_{61} = \frac{U_{\text{tot in turn}} - U_{\text{col}} \left(a - \frac{S_1 - 1}{b} \right)}{r_{61} + R_{61}} \tag{7}$$

$$S_{\text{KPI}} = \begin{cases} \frac{I_{61}}{I_{6}} S_{\text{KI}} & \text{inpit } I_{61} \leqslant I_{6} \\ \frac{I_{6}}{I_{6}} S_{\text{KI}} + c \left(I_{61} - I_{6}\right) & \text{inpit } I_{61} > I_{6}. \end{cases}$$
(8)

Выходное напряжение открытой насыщенной части схемы определится из рис. 2 с помощью выражения

$$U_{\text{max int}} = U_{\text{max in6}} = E_{\text{ol}} + \frac{E_{\text{min}} - I_{\text{Ko3}} R_{\text{min}} - E_{\text{n1}}}{1 + R_{\text{vl}} S_{\text{Kn1}}}$$
(9)

 2^{c} . $S_{1} < 1$. Для определения $U_{\text{вих нб}}$ можно использовать перелаточную характеристику $I_{\text{к}} = I(U_{\text{к}})$ снятую при $E = E_{\text{к}}$ чин

$$I_{\kappa 1} = I_{\kappa \alpha 1} + \frac{U_{\alpha 1} - U_{\alpha 1 1}}{I_{\kappa 1}}.$$
 (10)

$$U_{\text{MMV 186}} = E_{\text{K MHR}} - R_{\text{KI}} \left(I_{\text{KOI}} + I_{\text{NO3}} + \frac{U_{\text{MNO3}}}{r_{\text{KI}}} \right). \tag{11}$$

В обеих случаях необходимо, чтобы удовлстворялось перавенство

$$U_{\text{max B6}} \leqslant U_{\text{max B MARC}}. \tag{12}$$

Тест № 2. Проверяется нагрузочная способность триггера, когда его правое плечо закрыто. В этом случае с точки 10 должна синматься необходимая выходная мощность, достаточная, чтобы преодолеть возможную номеху но включению и открыть схемы-нагрузки, $-U_{\text{вых в чин}} \cdot I_{\text{вагрію}}$. Вместо экцивалентного сопротивления в качестве нагрузки к выходу схемы можно подключать экинвалентный источник постоянной э.д.с. $E=U_{\text{вых в мил}}$ и потребовать, чтобы протекающин через него ток был не меньше $I_{\text{натр}} = N \cdot I_{\text{на уакс}}$ где N- требуемая нагрузочная слособность. Іву маке - максимальный ток, потребляемый входными цепями исследуемых схем. Для наихудшего случая нужно добиться максимального уровня логического нуля на базе транзистора T_2 , потому, наряду с тем, что на базу T_1 подается U_{max} в мин, нход транзистора T_s заземляется, а на вход δ подаётся максимально возможный уровень догического нуля и помеха по включению. В этом случае входное напряжение и входной ток транзистора 7 будут максимально возможными, выходное напряжение и нагрузочная способность - минимальными.

Выходное высокое напряжение -- минимальный уровень логической единицы без нагрузки можно найти, используя аппроксимированную характеристику

$$U_{\max n2} = E_{n-\min} - R_{n2} (I_{n02} + I_{ext}). \tag{13}$$

В качестве входного напряжения на базе транзистора T_2 можно использовать величину $U_{m,-m6}$, полученную в тесте N_2 1 из выражения (11). Тогда коллекторный ток закрытого транзистора T_3 окажется равным:

$$I_{\text{EQ}} = \begin{cases} I_{\text{NO2}} & \text{inpit } U_{\text{BMX-BB}} \leqslant U_{\text{BXO2}} \\ I_{\text{KO2}} & U_{\text{BMX-BB}} - U_{\text{BXO2}} \end{cases} \text{inpit } U_{\text{BMY-BB}} > U_{\text{BXO2}}.$$
(14)

 $I_{\rm rel}$ — часть тока через $R_{\rm x2}$, ответвляющаяся в базу транзистора $T_{\rm rel}$ определяемая из выражения (7).

При подключении к выходу правого плеча триггера источника э.д.с. $E = U_{\text{min}}$ ток через него будет равен

$$I_{\text{max}|\mathcal{V}} = \frac{U_{\text{max}|\mathcal{V}} - U_{\text{max}|\mathcal{V}|\text{man}}}{\mathcal{K}_{\text{mb}}}.$$
 (15)

Для получения на выходе необходимой мощности пужно, чтобы

$$U_{\text{per se unit}} I_{\text{marp}} \leqslant U_{\text{max is such}} I_{\text{max10}} \tag{16}$$

или

$$I_{\text{max}11} = I_{\text{marp}}. \tag{17}$$

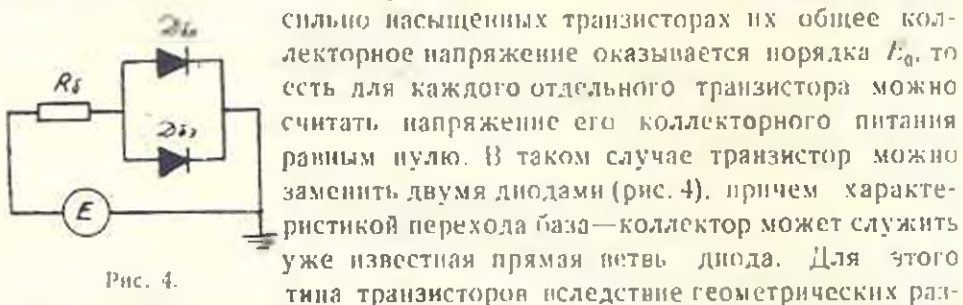
Тест N_2 3. Проверяется выходное низкое напряжение триггера, когда ее левое илечо находится и закрытом состоянии, а правое в открытом. Условия наихудшего случая здесь аналогичны тем же, что и в тесте N_2 1, только на вход 2 подается напряжение $U_{\rm вх. и. маке}$ для того, чтобы транзистор T_a был возможно ближе к порогу открывания, его коллекторный ток будет максимальным для закрытого состояния, что приведет к еще большему снижению высокого выходного напряжения в точке θ . Тогда, если триггер работоспособный, будет соблюдаться неравенство

Unit 1810 - Unit I MIKE .

Тест № 4. Проверяется нагрузочная способность триггера в том же состоянии, в котором он находился при реализации теста № 3. Наихудиний случай и тестовый нараметр $I_{\rm burst}$ определяются аналогично тесту № 2. Здесь должно удовлетворяться перавенство

Тест № 5. Этим тестом отбраковывается триттер по максимальному входному току, то есть проверяется способность схемы служить нагрузкой. Действительно, нагрузочная способность оценивается по выходной мощности $U_{\max n \text{ мин}}I_{\text{наг}}$, точнее' по току через эквивалентный источник э.д.с $E = U_{\text{вых n мин}}$, подключенный к выходу закрытого плеча. По, чтобы поддерживалось на выходе нагруженной схемы напряжение не ниже $L'_{\text{вык n мин}}$, необходимо, чтобы вся нагрузка потребляла ток не более $I_{\text{вагр}}$, или чтобы каждая схема нагрузки в наихулшем случае потребляла ток не более — при приложении к нему

напряжения $U_{\text{пт. в. мин.}}$. Максимальный ток может протекать во входной сбросовой цени, когда к точке 10 прилагается напряжение $U_{\text{пх. в. минс.}}$. В этом случае коллекторный ток насыщения траизистора T_{5} получится минимальным, я насыщение, сдвиг входных характеристик и потребляемый ток — максимальными. При параллельно соединенных двух и более



меров его переходов всегда $U_{\rm an} = U_{\rm an}$. Тогда входной ток схемы определится из выражения

$$I_{\text{mail}} = \frac{U_{\text{BX B WHII}}(r_{03} + r_{.003}) - U_{.003}r_{.003} - U_{.005}r_{.003}}{R_6 r_{03} + R_{.03}r_{.003} + r_{.03}r_{.003}}.$$

Для того, чтобы схема оказалась годной, необходимо удовлетворенне неравенства

$$I_{\text{ext}} \leq I_1 = \frac{I_{\text{corp}}}{N}$$
 (19)

Тест № 6. Проверяется рассенваемая мощность триггера, когда его левая сторона открыта, а правая закрыта. Наихудшего режима можно лебиться, подавая на вход 2 (рис. 1) напряжение $U_{\text{вх в макс}}$, полностью нагружая правую сторону, то есть подсоединяя к точке 10 источник в.д.с. $E = U_{\text{пых в мин}}$. Отклонение величины коллекторного питания полжно быть в большую сторону, так что к точке 3 подсоединяется источник э.д.с. $E_{\text{к макс}}$. Тогда через цепь $E_{\text{к}}$ будет течь максинально возможный ток. В точку 10 подается не $U_{\text{вх в макс}}$, а $U_{\text{пут в мин}}$ по той причине, что $R \gg \frac{1}{S_{\text{кр}}}$ и независимо от величины базоного

тока насыщенного транзистора его коллекторный ток насыщения почти не меняется, в то же время через R_{-} в этом случае текут максимально возможные токи закрытой нагруженной схемы. Полная рассенваемая мощность слагается на мощности, рассенваемой в базовой цепи транзистора T_{a} с одной стороны и в цепи питания — с другой.

$$P_{\text{puc}} = U_{\text{BS B Make}} I_{\text{MS}} + E_{\text{K Make}} I_{\text{obs}}, \tag{20}$$

В этом тесте проверяется Іобш, который равен

$$I_{\text{gfull}} = I + I_{R \text{gf.}} \tag{2.1}$$

Так как напряжение в точке 6 при параллельно подсоединенных шсыщенных транзисторах почти ранно пулю, то

$$I_{Ru1} = \frac{r_{u1}}{r_{u1}} {.} {(22)}$$

Ток через Rig равен:

$$I_{R\times 2} = \frac{L_{\text{BHX BH0}}^{I} I_{\text{BY B MBB}}}{R_{\text{eff}}} \,. \tag{23}$$

TRE

$$U_{\text{-MX MIO}} = E_{\text{K MARK}} - R_{\text{P}^2} (I_{\text{mil}} + I_{\text{ko2}}).$$
 (24)

Ток I_{axt} можно найти аналогично I_{erg} используя выражение (18):

$$I_{\text{mi}} = \frac{U_{\text{min}} \left(r_{61} + r_{\text{out}} \right) - U_{\text{out}} r_{\text{ad}} - U_{\text{aut}} r_{61}}{+ R_{61} r_{\text{out}} - r_{61} r_{\text{aut}}}$$
(25)

Суммарный ток $I_{\rm star}$ не должен превосходить некоторой величины

Тест № 7. Проверяется рассенваемая мощность во входной цени транзистора T_3 при тех же условиях, что и в тесте № 6. Должно соблюдаться неравенство

$$U_{\mathrm{nv}}$$
 , where $I_{\mathrm{ex}3} \leqslant U_{\mathrm{max}}$, and I_{nx} pure

или

$$I_{\text{mx3}} \leqslant I_{\text{max part}}$$

Вдесь

$$I_{\text{arc pac}} = \frac{P_{\text{pac}-\text{init}} - E_{\text{K-maker-oded}}}{S_{\text{nv.n.make}}}, \qquad (26)$$

$$\frac{l}{R_{b1}r_{63} + R_{-103} + r_{303}} = l = \frac{l}{1003}$$

Тест № 8. Проверяется рассенваемая мощность в случае, когде правое плечо триггера насыщенно, а левое — закрыто и предельно нагружено. Наихудине внешние условия аналогичны тесту № 6, только вдесь вся мощность рассенвается в цени $E_{\kappa, \text{макс}}$ точка 3 земля

Величина тока в этой пепи должна удовлетворять условию

Lofun Lofunz.

где

$$I_{\text{phin2}} = \frac{P_{\text{par-10.1}}}{F_{\text{pure}}}.$$
 (20)

Тест № 9. Проверяется высокое выходное напряжение схемы на выходе 10 с точки зрения рассенваемой мощности на входе нагружи. Из выражения (26) видно, что напряжение на входе нагруженой схемы не должно вревосходить $U_{\rm ex}$ и чаме, если по входной цеп нагрузки течет ток $I_{\rm ex}$ нас Наихудший случай нагрузки — это нагрузка из одной схемы, так как чем меньше количество нараллельно под соединенных схем в нагрузке, тем выше выходное напряжение. Нагрузку можно заменить экинвалентным генератором постоянной э.д. $E = U_{\rm ex}$ маже, подключенным к ныходу 10 закрытого плеча схеми. Выход о завемляется для того, чтобы транзистор $T_{\rm ex}$ был в глубоко закрытом состояния, вход транзистора T_3 также заземляется, чтобы насыщение, слеиг и потребляемый входной ток транзистора T_1 был минимальными, что сделаст напряжение на выходе 10 и ток через источник э.д.с., подключенный к этому иыходу, максимальными.

Тогда ток, протекающий по источнику э.д.с. $E=U_{\rm p, n}$ будет ранен току, который протекал бы по входной цепи наихудшей натрузки, будь она подключена к выходу 10. В случае годности схеми этот ток не должен превышать величину $I_{\rm ex-pac}$ (26):

$$I_{10} = \frac{U_{\text{BMX 0}} - U_{\text{BMNKC}}}{R_{K2}} - I_{51} - I_{\text{BX pac}}, \tag{29}$$

где

$$U_{\text{max } 1} = E_{e \text{ max} 0} - - R J \qquad (30)$$

Ток I_{61} находится аналогично входному току транзистора T_1 в тесте N_2 1, только здесь на его яход подключается напряжение $U_{32,4,94882}$, а не $U_{44,94882}$, а не

Тест № 10. Проверяется выходное напряжение схемы в точке 6 вналогично предыдущему тесту № 9.

Таким образом, полученные выражения связывают между собой входные и выходные напряжения и токи, вычисленные в наихудшем случае для каждого отдельного теста, с требуемыми качественными показателями, параметрами активных и пассивных компонентов данной интегральной схемы и тестовыми параметрами. В совокупности они составляют тестовую модель. Схема будет считаться годной, если ее входные и выходные напряжения и токи окажутся внутри области ограниченной тестовыми параметрами. Из бесконечного множества таких областей нужно найти такую, которая обеспечивала по возможности максимальный процент выхода годных схем. Это можно осуществить, используя статистический метод расчета схем. Для этого необходимо знать распределения электрических параметров активных и пассивных компонентов схем, так как вследствие несовершенства технологии производства всегда имеется разброс параметрон. Далее по составленной тестовой модели можно рассчитать схему триггера методом Монте-Карло и произвести онтимизаиню, принимая за критерий оптимизации процент выхода годных схем, а за параметры оптимизации — сами тестовые параметры.

Выводы

- 1. Тестовыми параметрами являются граничные значения входных и выходных напряжений и токов схем.
- 2. Выражения, связывающие искомые напряжения и токи с требуемыми качественными показателями и электрическими параметрами компонентов интегральных схем, выводятся при наихудших внешних условиях работы проверяемой схемы, в то же время параметры активных и пассивных компонентов внутри схемы являются распределенными по какому-то статистическому закопу.
- 3. В качестве критерия оптимизации при нахождении оптимальных тестовых параметров необходимо использовать процент выхода голных схем, непосредственно связанный с производством.
- 4. По указанному принципу можно составить систему тестов для выхолного контроля любых других видов интегральных схем, работяющих в статическом режиме.

Поступило 4.1.1969.

U. J. WHILLDY, P. L. HILLDY, J. U. GUSUMSHI

ՏԵՍՏԵՐԻ ՍԻՍՏԵՄԻ ՄՇԱԿՈՒՄ՝ ՎԵՃԱԿԱԳՐԱԿԱՆ ՄԵԹՈԳՈՎ ՏՐԻԳԵՐԻ ԻՆՏԵԳՐԱԼ ՍԽԵՄԱՅԻ ԹՈՂԱՐԿՄԱՆ ՍՏՈՒԳՈՒՄ ԿԱՏԱՐԵԼՈՒ ՀԱՄԱՐ

Unidendined

Բերված է վ ազրական մենո երի արիզերի ինտեցրայ սիսեստյի սատուղում կատարելու ամար տեստերի սիստեմի 'այվարկի մեկեոդիկայի քամառոտ նկարագրությունը։ Տրված է ստատիկ ռեժի սում արիզերի սխեմայի տեստային մոցելի կառուցման որում մուսրի ելքի ու տոտևըներն ևն սխեմայի ունմ կախված սուստային պարամետրների և ինտեզրալ սխեմայի ակտիվ ու պասսիվ կոմպոնենտների պարամետրների

ЛИТЕРАТУРА

- 1. Малин Б. В., Трутко А. Ф. Креминевые интегральные слемы. Сб. "Микроэлектроника", под общей ред. Ф. В. Лукина, М., 1967.
- Лоу А. Физическая реализации цифровых догических схем. Микромошная электроника*, под ред. Е. 11. Гальперина, М., 1967.
- Николиса А. В., Паратов Г. М. О векоторых вопросах контроля параметров элементов, рассчитанных статистическим методом. Тр. МНЭМ, вып. 2, М.—.1., 1966.

XX11, 4, 1969

Серия технических наук

научные заметки

В. А. СКУДНОВ. Л. Д. СОКОЛОВ, А. Н. ГЛАЗКИХ

О ПЛАСТИЧНОСТИ ПРАЗЕОДИМА

Празеодим Рг относится к редкоземельным металлам церпевой группы. В нашем распоряжении имелись слитки толщиной 8 10 мм, весом 90 г. химического состава (нес. °/0): Pr —90,2; La —1,9: Ce —4,0; Nd -3,7: Y = 0,2; Ca < 0,02; Fe < 0,01; Cu < 0,005. Подготовка образцов из Рг [1] состояля в разрезке слитка и механической обработке **штабиков**, прессовании в нагретом состоянии при 600-650°C, термообработке (отжиге) в вакуумной печи $(10^{-3}-10^{-4} \text{ м.н. рт., ст.})$ при температуре 0,5 Т_{п.} 'К (Т_{п.т.} — температура идавления 1208 К)*, правке праврезке на образцы. Метод испытания—сжатие. Размеры образцов: миметр 3,0 0,01 мм; высота -4,50±00,1 мм. Температура опытов: -196, 100, -31,5; 89,3; 210; 330,9; 451,7; 572,5 C. Скорости деформации: 4,7·10-3; 2·10 2 сект Предельная пластичность празсодииз определялась по моменту появления первой трещины, видимой невооруженным глазом. Для точного установления моментя разрушения при осадке использовалось не менее трех образцов. Охлаждение абразцов производилось вместе с приспособлением для осадки в среле жидкого азота (-196 С) или в смеси спирта и язота. Опыты с нагревом производились в печи сопротивления в среде чистого аргона, который поступал и печь через медиую трубку, вваренную в корвус нагревателя. Осадка осуществлялась после выдержки образца при температуре опыта в течение 10-15 мин. В качестве показателя вымличности при осадке служило относительное сжатие:

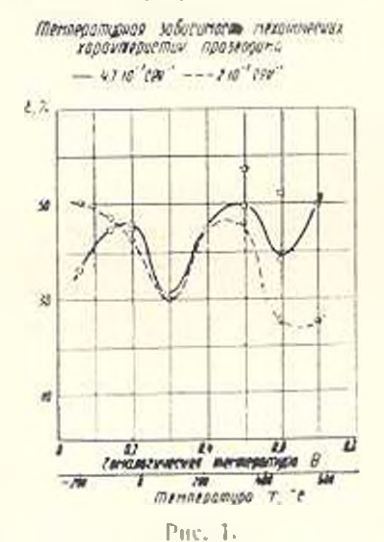
$$\varepsilon = \frac{h_0 - h_1}{h_0} 100^{\circ} /_{\circ},$$

где h_0 и h_1 — начальная и конечная высота образца.

Результаты опытов представлены на рис. 1 в виде температурной зависимости предслыного (до разрушения) значения в при двух скоростях деформации: $4.7 \cdot 10^{-3}$ и $2 \cdot 20^{-2}$ сек $^{-1}$. Здесь каждая точка волучена как средний результат из трех испытаний. Лишь две точки вря 0.5 и 0.6 $T_{\rm H}$ $^{\rm P}$ K, лежащие выше графика, показывают, что осадка

^{*} Здесь и на рисунке условно принята температура плавления чистого праняма Фактически она может быть несколько ниже. Это, однако, не скажется отпательно на результатах отжига при 0,5 Тол. К.

образцов до заведомо больших степеней деформации, действительно приводит к сильному разрушению празводима. Стрелками показано, что момент начала разрушения лежит инже. Зависимость в (Т) носит немонотонный характер. На графиках наблюдается два "провала"



пластичности: при $T=0.3~{\rm T_{m}}~{\rm K}$ (100 C) и при $\sim 0.6~{\rm T_{m}}~{\rm K}$ (450°C). С увеличением скорости деформации примерно на один порядок оба мин имума смещаются в область более высоких температур, особенно

заметно это смещение для второго из них.

Природа отмеченных минимумов может быть связана: первого с деформационным старением [1], второго — с эквикогезивным переходом [2], однако, несмотря на то, что подобные явления наблюдаются не только в чистых металлах, но и в сплавах [3], другим возможным объясиением отмеченных аномалий могут быть структурные изменения сильно загрязненного (в нашем случас) металла. В интервале температур для полиморфного \Pr наблюдается переход из однов модификации F—I2 в другую K—I2. Выше 0,7 $T_{\rm cr}$ K властичность заметно повышается, что характерно для решетки $\Gamma \downarrow K$, если считать, что наличие примесей синжает температуру перехода. В общем пластичность является достаточной для пластической обработки его при наличии мятких схем деформации.

Горьковский политехнический институт

Поступило 19.1.1968.

ЛИТЕРАТУРА

- Соколов Л. Д. Физика металлов и металловедение, 14. 6, 1962, 104.
- Савицкий Е. М. Влияние температуры на леханические спойства металлов и спланов. Изд. АН СССР. М., 1957.
- 3. Станюкович . Л. В. Хрункость и пластичность жаропрочных материалов. М., 1967.

А. Т. ПАРИНОВ

К ВОПРОСУ ПРОЕКТИРОВАНИЯ ПРЕДНАПРЯЖЕННЫХ ПЛИТ 2Т ИЗ ЛЕГКОГО БЕТОНА

В настоящее время для изготовления предварительно напряжен ных конструкция на предприятиях стройнидустрии Армянской ССР используются преимущественно легкие бет ны и и окновном на литоилной немае. Опыты, проведенные в АНСМ, воказали, что семипроволочные стальные пряди диаметром 12—15 км при соблюдении соответствующих технологических и проектных требований надежно самозаанкериваются в литоилопемзобетоне марки 300—400 К тому же условия анкеровки таких прядей в элементах балочного типа сплоиного поперечвого лечения при воздействии равномерно распредстенной натрузки наиболее благоприятны. Эта условия открывают реальные возможности для организации промышлениего производства плит 2Т с применением папрягаемой прядевой вримпуры и легких бетонов на местных заполнителях

Использование плит 2T в промышлением строительстве способствует скоростному позведению зданий с плоской кровлей. Они могут успешно применяться в крупнопанельном строительстве жилых и общественных зданий для перекрытий и покрытий. В этом случае при замене обычных миогопустотных кастилов данной до б и плитами 2Т длиной 12 м цеключается необходимость в продольной иссущей стене, либо рителях с колиннями, а наружные стены оказываются более догруженцыми. Помимо упрыцения технологии строительного производства и экономии средств и времени, и случае применения или 21, создаются возможпости для более спободной планировки и решения интерьеров. Эффек--исл ж д од йонисд тисп хантотрун каменемири виан миемек атронант тами 27 уарактеризуется примерно одинаковым расходом бетона на 1 кв. ж перекрытия. В то же время относительная высота плит 2Т оказывается меньшей, чем у многопустотных плит, при этом получаются известные экономические выгоды, связанные с укрупнением элементов и упрощением схемы зааний за счет исключения промежуточных несущих конструкций. Применение илит 2Т в сейсмических районах не должно вымывать опасений, так как по сравнению, например, и применяемыми выне в строительстве сборными желе и беторными фермами, не имеющими спязей по инжиему поясу, плиты 2Т более устойчивы, а перекрытие с их применением после сборки и заменоличавания представляет собой жесткий горизонтальный диск

Рассматривая перспектину массового изготовления преднапряженных илит 2Т исльзя не коспутся особенностей вх производства с учетом трудоваграт, обусловливающих и нелом себестоимость изделия. Преднапряженные илиты 2Т могут изготовляться как по одностадийной (олновременное формирование бетона одновающей прочности и ребрах и полке илиты), так и по двустадийной (илита 21 и стотавливается в два приемапиачале в вертикальных групновых кассетах формуются ребра илиты с

применением бетона повышенной прочности, затем после его термообработки ребра транспортируются для установки в специальный кондуктор. в котором произволится армирование и формование бетона илиты с применением бетона пониженной прочности) стендовой технологии. Одностадийная технология изготовления плит на длинных стендах с взаимозаменяемым комплексом технологических операций на двух ручьях более целесообразна, явиду возможности осуществления непрерывного производства илит по сетевому графику с возможной механизацией и автоматизацией ряда производственных процессов (раскладка прядей и групповое формование илит с помощью навесного оборудсвания, устапавливаемого на портальных кранах, разгрузка и погрузка изготовленных плит на железнодорожные платформы с применением тех же кранов, патяжение прядей и их отнуск группами с применением стационарной натяжной станини, последовательная гермообработка бетона в илигах по опалубочным отсекам и г. л.! Поэтому изготовление илит по одностадийной технологии более эффективно по суммарным затратам ресурсов, энергии и времени по сравнению с двустадийной, при которой необколимость раздельного бетонирования плиты требует выполнения дополинтельцого вышеописанного комплекса производственных операций. Совершенно очевидно, что возможность существенного синжения общих затрат на одно изделне по односталийной технологии является не менее важным, чем выигрыш от дифференцированного проектирования прочности бетона в полке и ребрах илиты 21 ири двустадийной технологии их изготовления-

При расчете, проектировании, изготовлении и эксплуатании пред папряженных плит 2Т с применением дегкого бетона и прядей, учитывая сравнительную новизну этих материалов, следует строго соблюдать выполнение пормативных гребований в отвошении трещиностойкости-При проектировании влит 2Т, предназначенных для изготовления по двустадийной технологии, следует учитывать, что сечение напрягаемой арматуры, подсчитанное по моменту обжатия, может оказаться чрезмерпо бельшим, пвиду повышенной гибкости сравнительно тонких ребер на восприятие усилия обжатия и ослабления растянутой от обжатия их зоны сечения в связи с отсутствием полки плиты 2Т, способной воспринять значительную долю растяжения при изгибе в момент отпуска натяжения арматуры. Расход арматуры в ребрах плиты 2Т (при односталайном ее изготовлении) на восприятие поперечной силы может быть существенно сокращен и даже исключен полностью явиду техничес ки возможного и целесообразного отгиба большей части пряден к опорам ребер. Следует учитывать, что сечение одиночной напрягаемой арматуры по условню достаточной грешиностопкости элемента балочного тина, как правило, превышает холючество той же арматуры, установленной по расчету прочности по сечениям, нормальным к продольной его OCII.

Резюмируя изложенное, представляется возможным сделать вывод о том, что проектирование плит 21 с использованием напрягаемой

прядевой арматуры и литоидонемнобетона должно учитывать не только требования по их расчету, сводящиеся к соблюдению равенства деформаций от внецентренного обжатия сечения ребер плиты и неремещений изогнутой оси от эксплуатационных нагрузок, но и рациональное использование свойств материалов при наиболее оптимальных геометрических характеристиках конструкций, а также достижение наименьшей себестоимости с учетом общих затрат, относящихся к изготовлению плиг

Разумеется, до массового производства илит 2T с использованием прядей и легкого бетона необходимо произвести соответствующие исследовательские и проектно-конструкторские работы.

Ростовский ПрометройНПП проект

Поступило 3.1П 1469.

Исследования алгоритма расчета стационорных режимов писсивного многополюсника. Алона Г. Т. «Півестія АН АрмССР (серия 1 Пі.)». с. XXII, № 4, 1969, 3—11.

Издавается адгоритм расчета, предусматривающий совместное решение в два этапа п-уравнении модулей комплексных напряжений и реактивных мещностей и п-уравнений фаз напряжений и актионых мощностьй для многополюсника с п-незаписимыми удлями. Задача решается итерационным методом. Двются критерии еходимости итерации. Рассматривается вспрос автоматического выбора оалансарующего удла и пеличины фазыего напряжения, способствующие сходимости итерации. Пселедуется попрос единственности решения в область допустимых значений фаз некторов напряжении. Предлагается простой способ ускорения интерации. Габлии 2 Библиографий. 2. Излюстрации. 2.

MAIK 621 311 ± 681 142 32

Энергегические соотношения обоещенной цени сраинения Лихтинидер 6 Я. Патлании М. Г. Пивестия АН АрмССР (серия Т. Н.12, т. XXII, № 4, 1969.—12—14.

Рассматриваются электроизмерительные цепи и инводятся соответствующие энергетические соотношения, которые можно запрограммировать для расчетов при помощи НВМ и иметь едну единую программу для различных цепей сраписния. Библиографий 4 Иллюстраций 2

MIR 621 827 4 62-232

К синтели плоского пряжалинейно-направалнощего механизма к чертяшен гочкой на иси пистина. Гапрян В. М. Павестия АН АрмССР (серпя. 1—11.1— т. XXII. № 4, 1969, 15-- 21.

Предлигается метод, с помощью которого определяются шесть параметров прямолинейно-направляющего механизмя. Рассматринаемам схеми механизма заменяется длумя кривонивно ползунными механизмами, имеющих ил участке приближение общий закон изменения получа и выподитея условие совместимости, которое приведено к виду полинома для выписления шести параметров.

Коэффициенты приближающей функции вычисляются ил системы лиисиных уравнении, а параметры механилма определяются ил системы шести уравнений, которые приводится в двум ислинейным уравнениям. Решен частный пример при заданных углах между направлением прямоливейного илижения чертящей точки и шатуном и пачале и конце интерзала приближения. Библиографий 2. Палюстраций 1

УДК 621.311.22/23+681.142.32

Алгоригм оптимизации режима котельной группы ТЭС при заданном расходе одного из видов топлипа. Бабян В М «Павестия АН АрмССР (серия Т. Н.)», т. XXII, № 4, 1969, 22—26

Рассматривается алгоритм расчета на ЦВМ онтимального режима котельной группы ТЭС при ограничении на один из видов потребляемого топлива, построенный ил основе сочетания двух математических методов: динимического программирования и дискретном приближении и класического внадиза. Используется идея множителя Лагранжа для понижении рачерности, что позволяет свести задачу к классу одномерных, решаемых с помощью функциональных уравнений Беллмана.

Предложениый алгоритм полволяет однопременно оптимизировать режим котельной при работе на смеси гоплив и построить се расчетную харектеристику, необходимую для оптимизации режима станции и целом Библиографий 2

SITK 699.84

К исследованию сейсмостойкисти висячих покрытий. Абовяя Г А. Хачиви Э Е. Погосян Г 11. «Павестия АН АрмССР (серия Т 11.)», т XXII. № 4, 1969. 27 -32.

Рассматриваются динамические характеристики радинлыных чантоных систем. Дифференциальное уравнение свобедных колебаний панты решено методом Галеркина и и результате приведено выражение для определения частоты спободных колебаний. Решением основного дифференциального уравнения вынужденных колебаний получено выражение для определения сейсмической силы, действующей на инсинее покрытие Таблина 1 Библиографий 6 Иллюстряция 1

УЛК 621.371 3

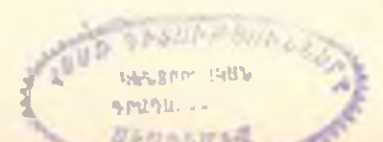
Разработка системы тестов для выходного контроля интегральной схимы трисгера стотистическим методом Николаев А. В., Донвер Б. Л., Шатахян П. М. «Илистия АН АрмССР (серия Г. И.)» г. ХХИ, № 1-1969, 33—42.

Приводится краткое описание методики расчета системы тестов для выходного контроли интегральной схемы триггера статистическим методом Приводится пример построения тестовой модели для схемы триггера и статическом режиме, где входише и выходише наиряжения и токи выражаются через пираметры активных и поссивных компонентой интегральной схемы и через тестовые нараметры, испосредетаению связанные е заданными требованиями на качественные гоказатели схем Таблица 1 Библиографии 3 Иллюсграмий 4

УДК 669.856±62 75±539.37/38

О пластичности празеодима Скудно» В А. Соколов Л. Д., Гладких 1 И. «Известия AII АрмССР (серия Т. Н.)», т. XXII, № 1-1969, 43—44

Приводятся температурные заинсимости относительного обжатия до разрушения при осадке предларительно пропрессованного при 600 - 650°С и отожженного празеодима со скоростями деформации 0,0047 и 0,02 сек=1. Зависимость т (Т) носит немонотонный характер; при ~ 0,3 Ты К (100°С) и ~ 0,6 Ты (450°С) наблюдаются «провалы» пластичности, которые с увеличением скорости деформации смещаются в область более пысоких температур. Отмечается, что в условиях мягких схем деформации пластичность прязеодима достаточно пысоки Библиографий 3. Иллюстрация 1



61486484868866

ԷննՔԳնՏԵԿԱ

	S. Ադոնց, Պասսիվ բազմաբների մնայուն ոնժիմի մայվման ալգորիքենի հետադոտումը ժա. Եխագինդիս, Մ. Գ. Պանլավյան, Հաժեմատման բնդմանրացվամ չդքաների (ենր- դնտիկ Տարարհրակցությունները	15.
	ՄԵՐԵՆԱՆԻՆՈՒԻՃՈՒՆ	
ત્.	. II. Թաիշչան Հարի ուղզադիծ-ուղղորդային մեխանիզմի սինինդը, երբ դմող կետր դտնվում է չարժաննի առանցջի վրա	15
	ջեՐՄԱՏևԽՆԻԿԱ	
2.	II. Բաբայաս, ԶէԿ-ի կաթմարական խմբի սեժիմի օպտիմայացման այդորիթմր որևէ տեսակի վառելիբի տված ծախսի դեպրում	914
	ենձարաբարաչ անհատարա	
4.	. Ա. Աբովյան, է, հ. Խաչիյան, Հ. Ց. Պողոսյան, Կախոմի ծաժկերի ոնյաժուկայանության Տետագոտման շուրջը	27
	ՀԱՇՎՈՎԱԿԱՆ, ՏիհեւիԿԱ	
11.	. Վ. Նիկոչաև, Բ. Լ. Գոենևել, Պ. Մ. Շատախյան, <i>Տեստերի սիստեմի մյակում՝ վիճակա-</i> դրական ժեքոգով տրիցերի ինտեցրալ ոխեժայի թողարկման ստուգում կատարե չու Տամար	3.8
	ԳԻՏԱԿԱՆ ՆՈԹԵՐ	
	. Ա. Ոկուդուով, է, Գ. Սոկոլով, Ա. և. Գլադեիիս, - րաղևոցինի պլաստիկության վերաբերյաց։ . Տ. Պաշինով, Թեթե բետոնից 21 տիպի Նախալարված սալերի ռախաղմման նարցի	4.3

СОДЕРЖАНИЕ

Энергетика

Г. Т. Адонц. Исследования алгоритма расчета стационарных режимов нассивного многополюсинка	3
В. Я. Лихтипиндер, М. Г. Паглавян. Энергетические соотношения обобщен-	12
Машиностроение	
В. М. Таприн К синтезу плоского прямолинейно-направляющего механизма с пертящей точкой на оси шатуна	15
Теплотехника	
. А. Вабаян. Авгоритом оптими ании режима котельной группы ТЭС при заданном расходе одного из витов топлина	22
Строительная механика	
Г. А. Абовян. Э. Е. Хачиян. Е. П. Погосян. К исследованию сейсмостойкости висячих покрытий	27
Вычислительная гехника	
А. В. Николаев, В. Л. Довкер, П. А. Шатахин. Разработка системы лестов для выходного контроля интегральной схемы тритгера статистическим методом.	33
Научные заметки	
В. А. Скуднов, Л. Д. Соколов. А. II Гладких. О пластичности празводима А. Т. Паримов. К вопросу проектирования преднапряженных илит 21 из легко-	43
го бегона	45